#### Сто часов астрономии — 2015 ГАИШ МГУ



#### Цикл лекций по различным ключевым проблемам астрономии и космонавтики для преподавателей, учащихся старших классов и всех желающих Фестиваль науки — 2015, конференц-зал ГАИШ

В рамках проекта "100 часов астрономии - 2015" ГАИШ МГУ проводит в октябре цикл из восьми лекций (бесплатно и для всех желающих) по различным ключевым проблемам астрономии: "Астрономия XXI века". Лекции будут читать ведущие ученые ГАИШ, но при этом уровень лекций рассчитан на школьных преподавателей и учащихся старших классов.

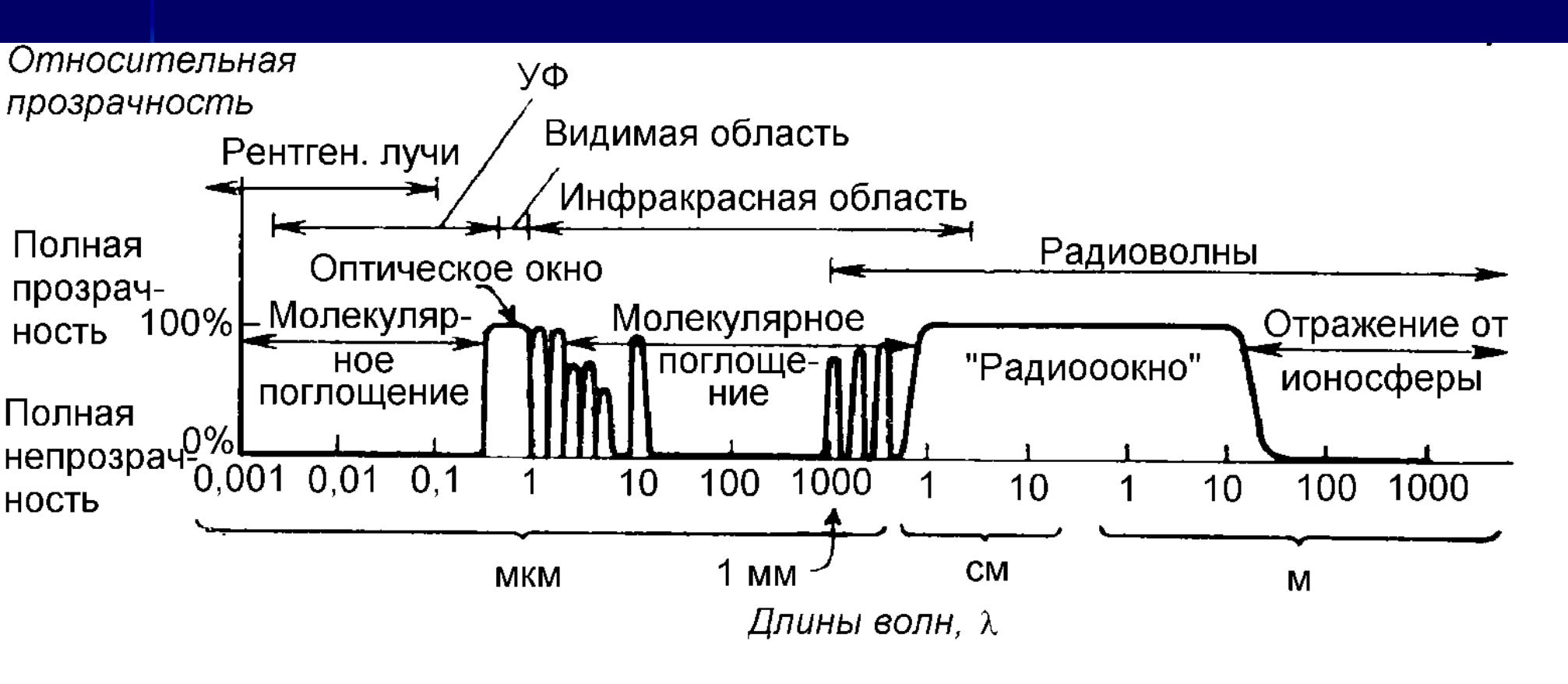
#### Расписание и темы лекций

N	Лектор	Тема	Дата	Время
1	Рудницкий Г.М.	Вещество в пространстве между звездами	8 октября,	18:30-19:30
2	Вибе Д.3.	Космические пылинки — от макромолекул до планет	8 октября,	19:30-20:30
3	Расторгуев А.С.	Цефеиды — маяки Вселенной	15 октября,	18:30-19:30
4	Маланчев К.Л.	Мир двойных звезд	15 октября,	19:30-20:30
5	Ксанфомалити Л.В.	Комета Чурюмова-Герасименко: миссия выполнима?	22 октября,	18:30-19:30
6	Постнов К.А.	Рождение звезд и планет	22 октября,	19:30-20:30
7	Засов А.В.	Необычные галактики	29 октября,	18:30-19:30
8	Самусь Н.Н.	Шаровые скопления — свидетели юности Галактики	29 октября,	19:30-20:30

# Вещество в пространстве между звёздами

Рудницкий Г.М. ГАИШ МГУ

#### Шкала электромагнитных волн



Относительная прозрачность земной атмосферы в электромагнитном спектре.

### Галактика M74 (NGC 628)



#### Галактика М33



# Строение Нашей Галактики

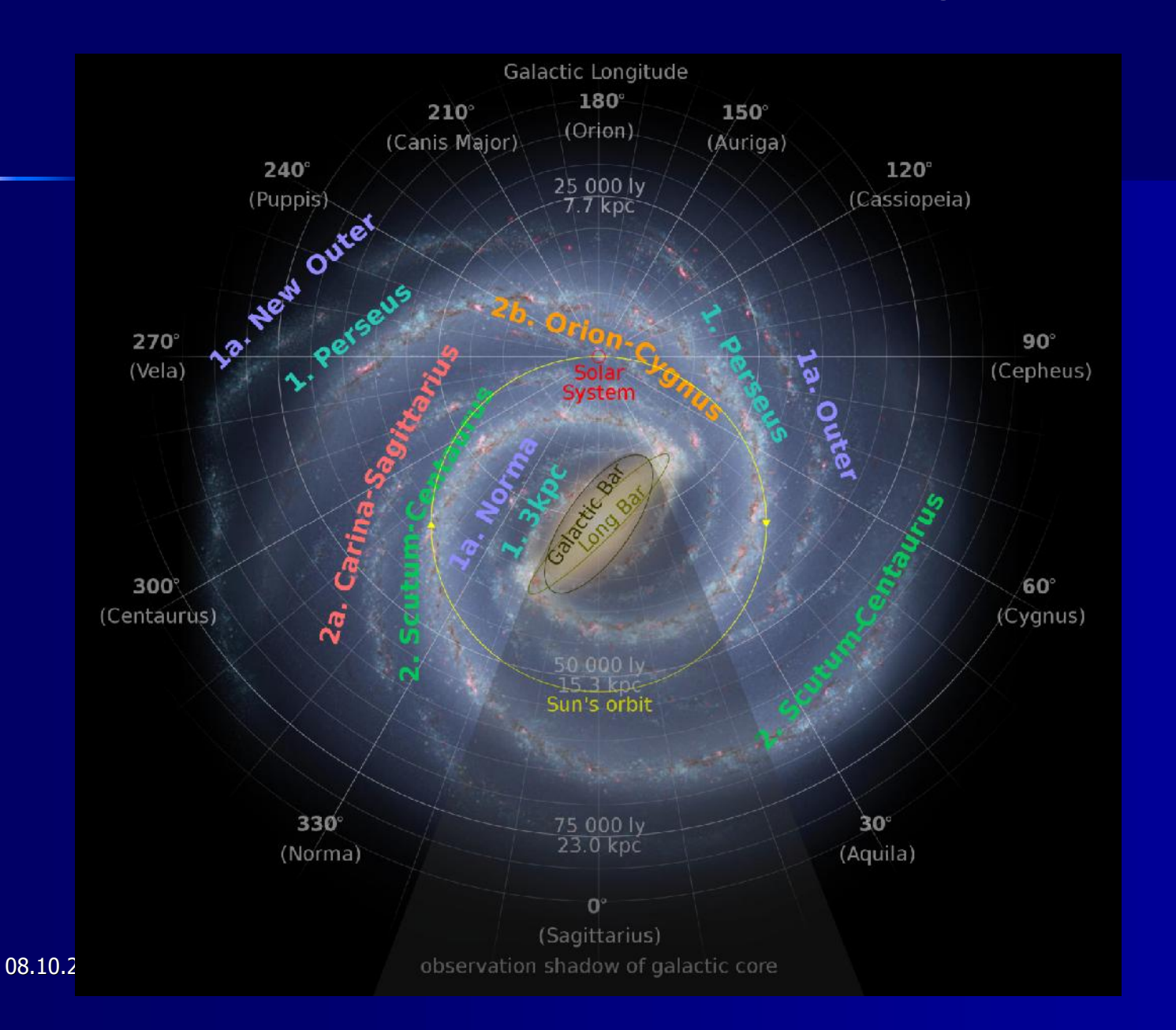


Наша Галактика вид с боку.

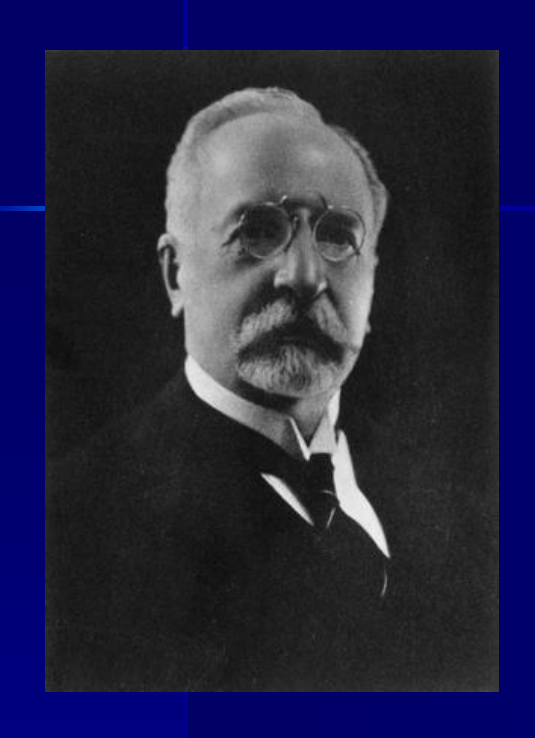
ы Размеры Галактики:

ы - диаметр диска Галактики около 30 кпк ( 100 000 световых лет),

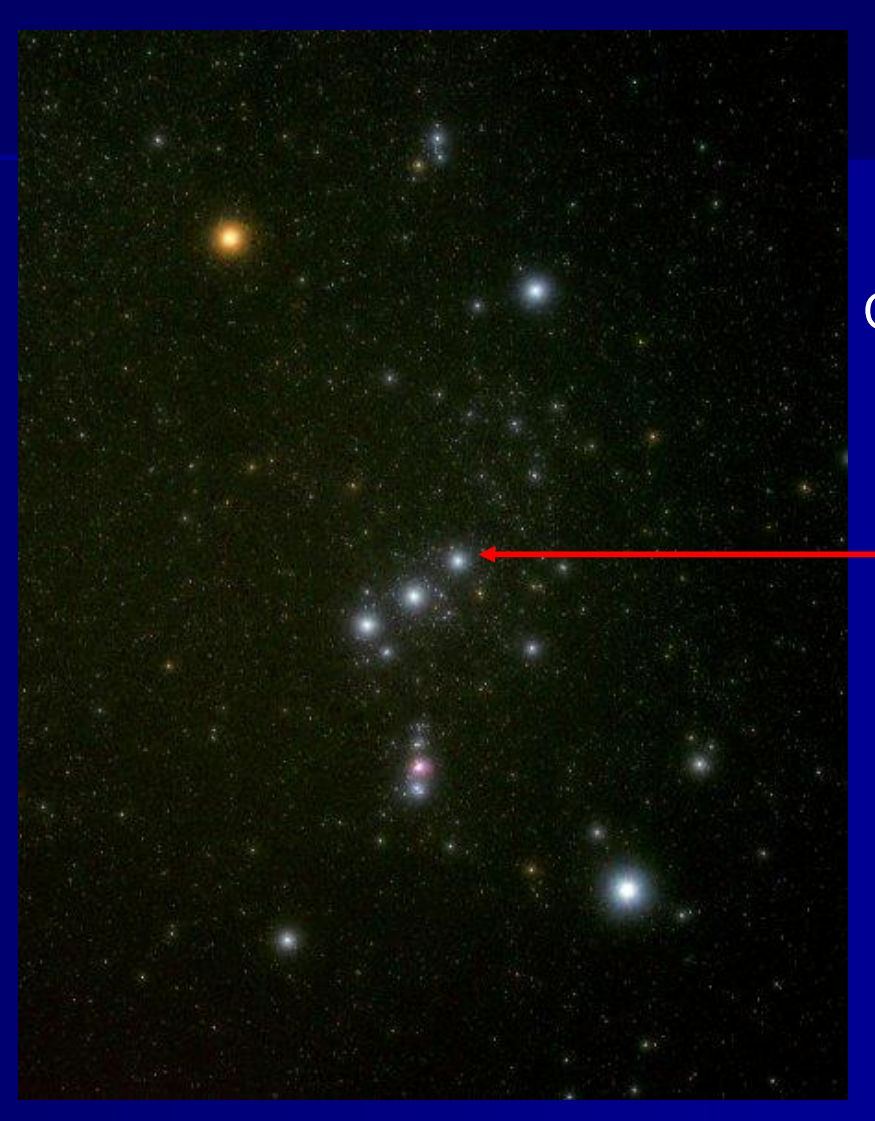
#### Схема Галактики Млечный Путь



#### Пространство между звёздами — не пустота



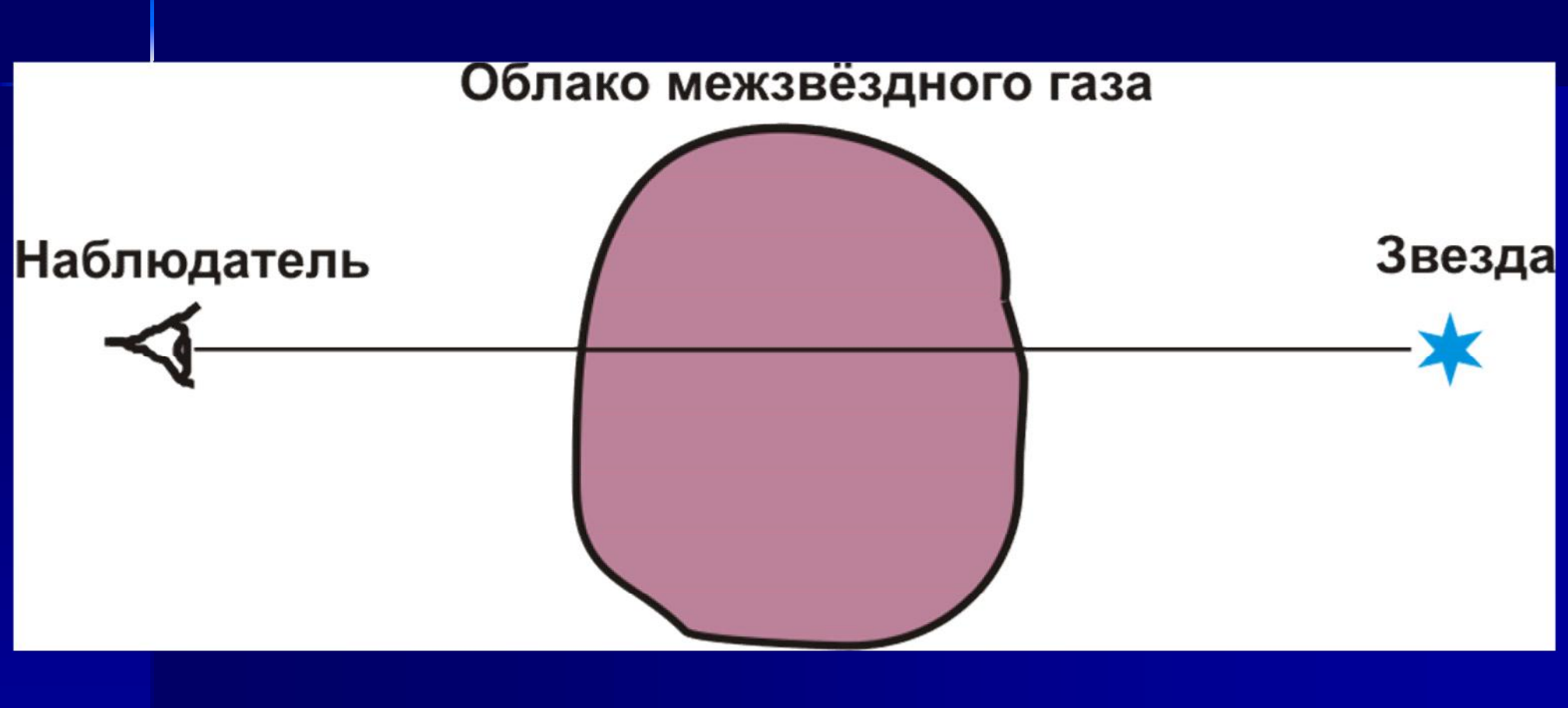
Йоханнес Хартманн 1865 - 1936



Созвездие Ориона

 $\delta$  Ориона Минтака Двойная,

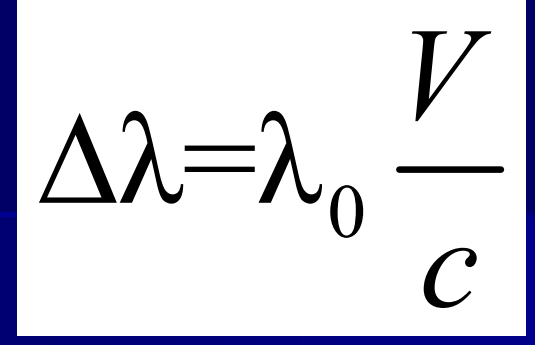
P = 5.7 сут

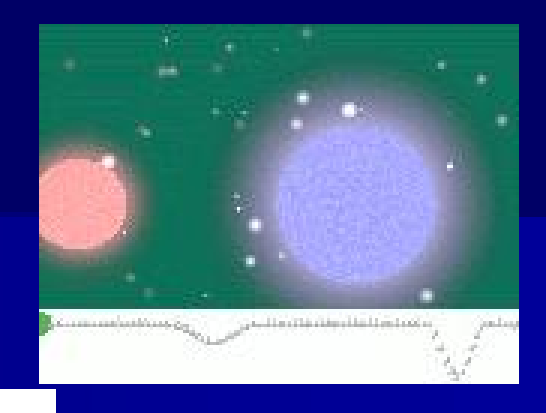


#### Эффект Доплера



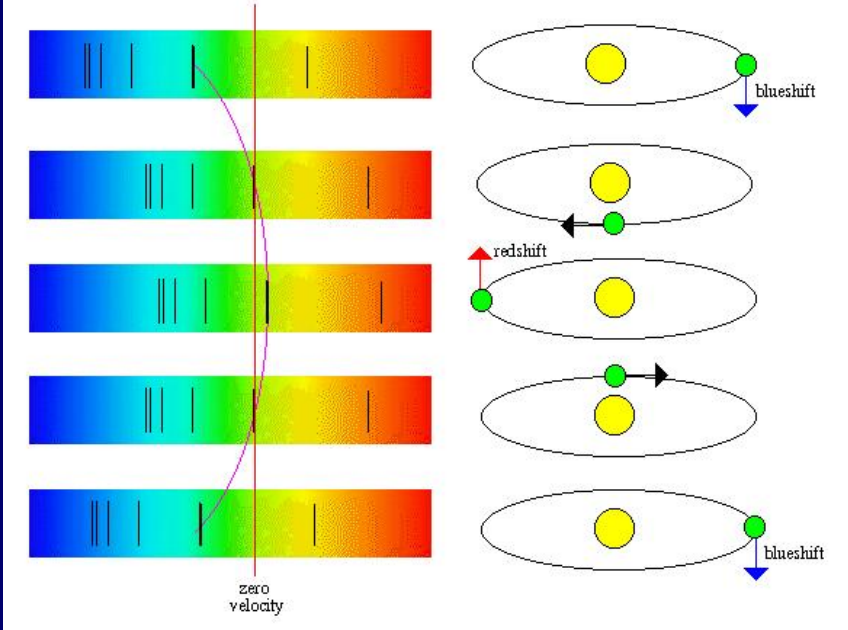
Кристиан Доплер 1803 - 1853





Spectroscopic Binary

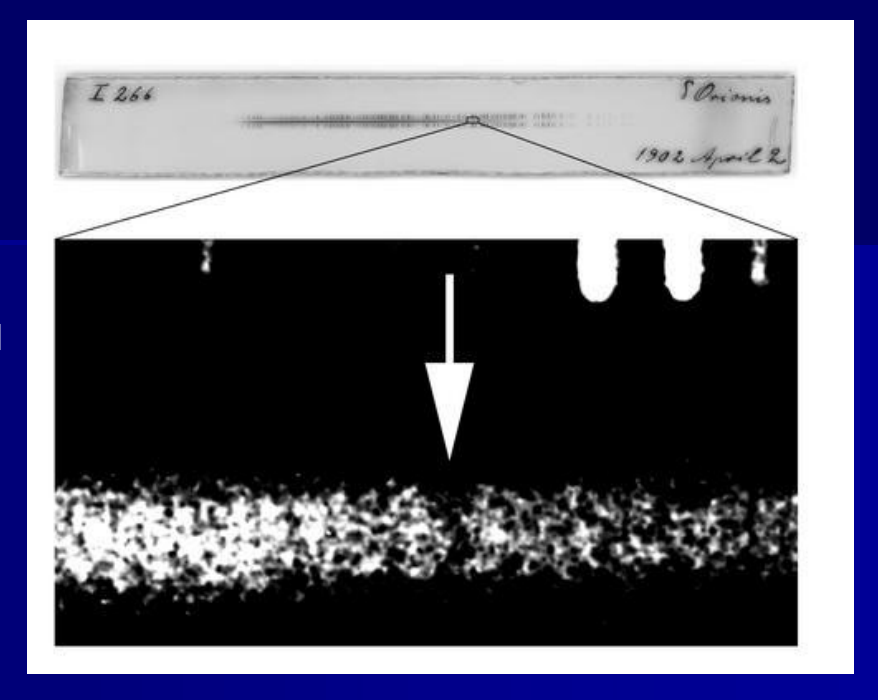
A spectroscopic binary is where there is evidence of orbital motion in the spectral features due to the Doppler effect

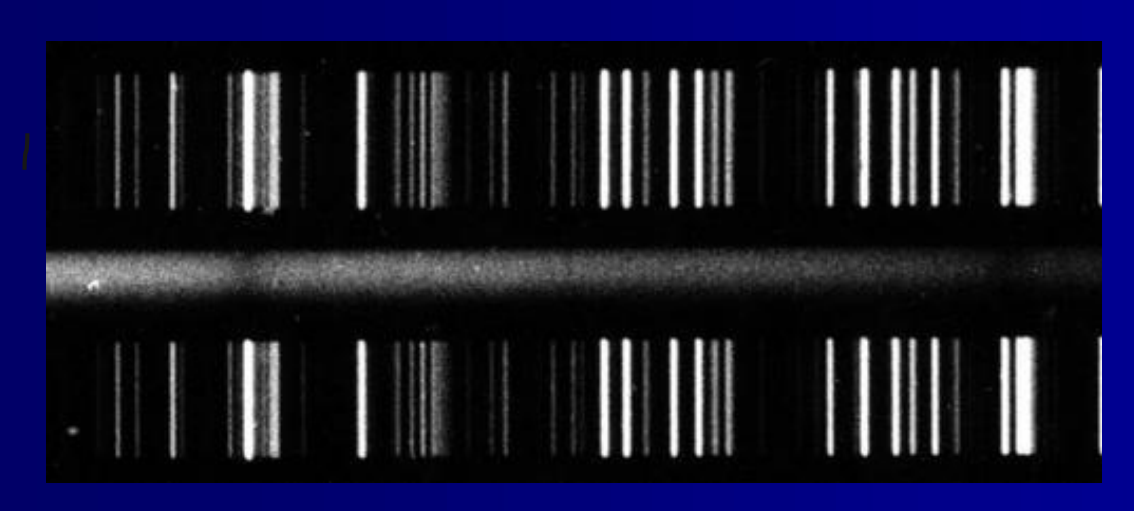


Двойная звезда

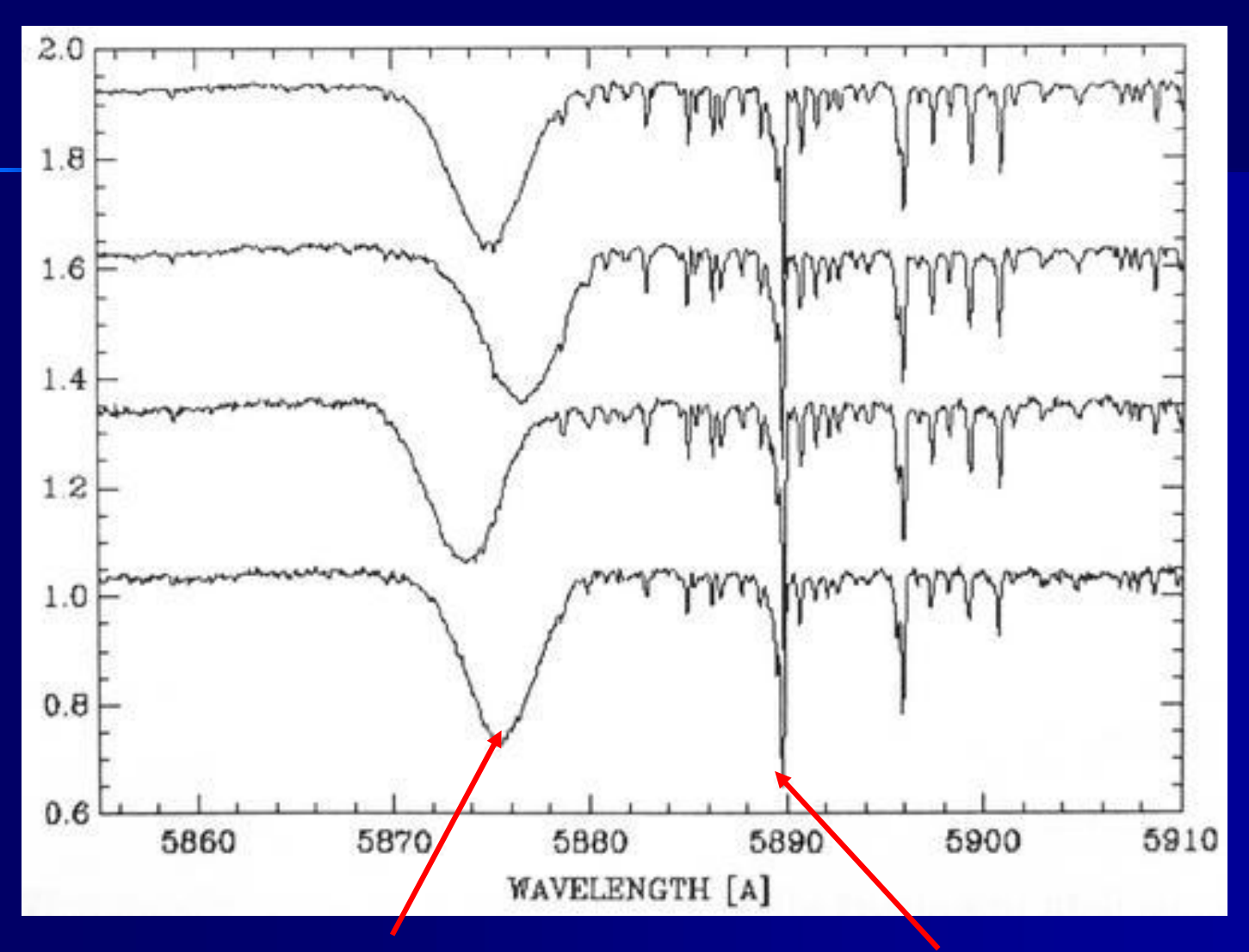
#### Что открыл Хартманн в 1904 году

Линии ионизованного кальция  $\lambda = 3968$  и 3933 A





#### Спектры звезды $\delta$ Ориона



Линия гелия

Линии натрия

В оптических спектрах звёзд обнаружены межзвёздные линии поглощения, принадлежащие различным атомам и молекулам:

Ca, Na, Si, N, S,...CH, CH+, CN. Самый распространённый элемент во Вселенной – водород.

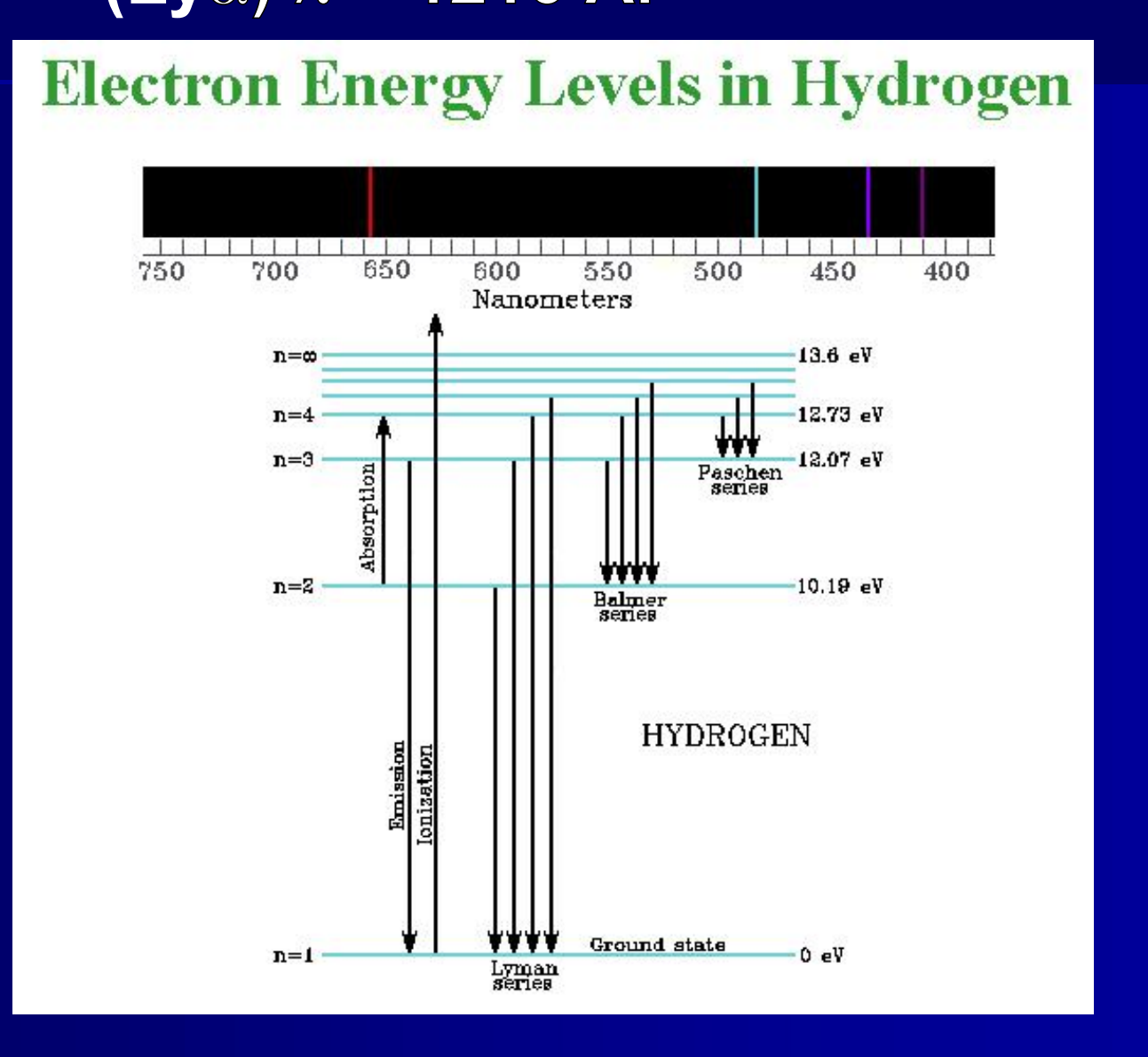
H и H<sub>2</sub>

В видимой области спектра не имеет спектральных линий.

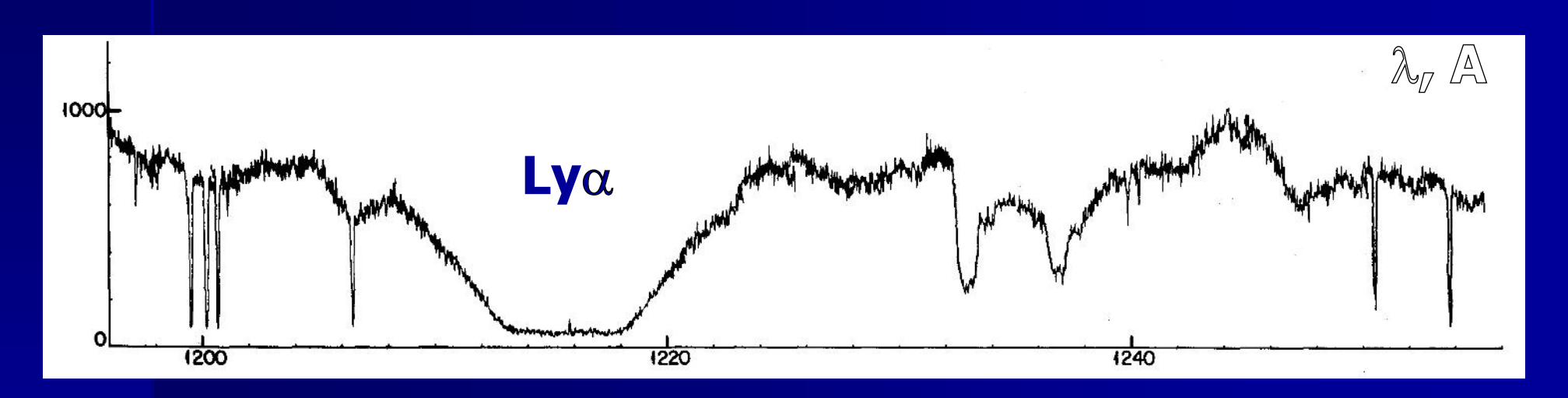
#### В ультрафиолетовой области: Атомарный водород – линия Лайман-альфа (Lyα) λ = 1216 A.



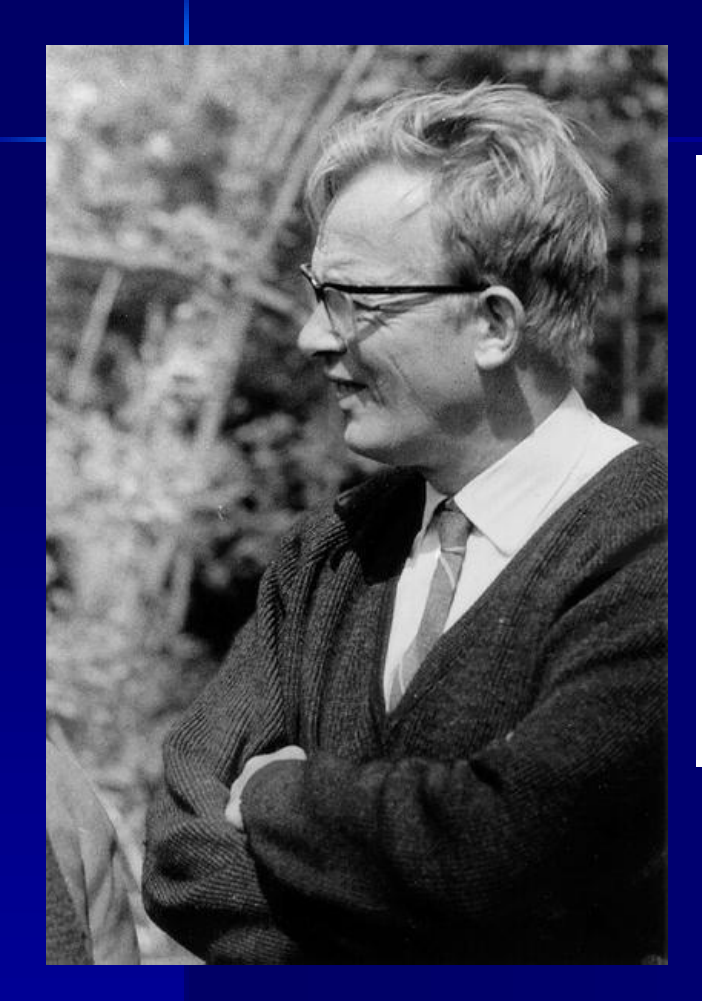
**Теодор Лайман** 1874-1954



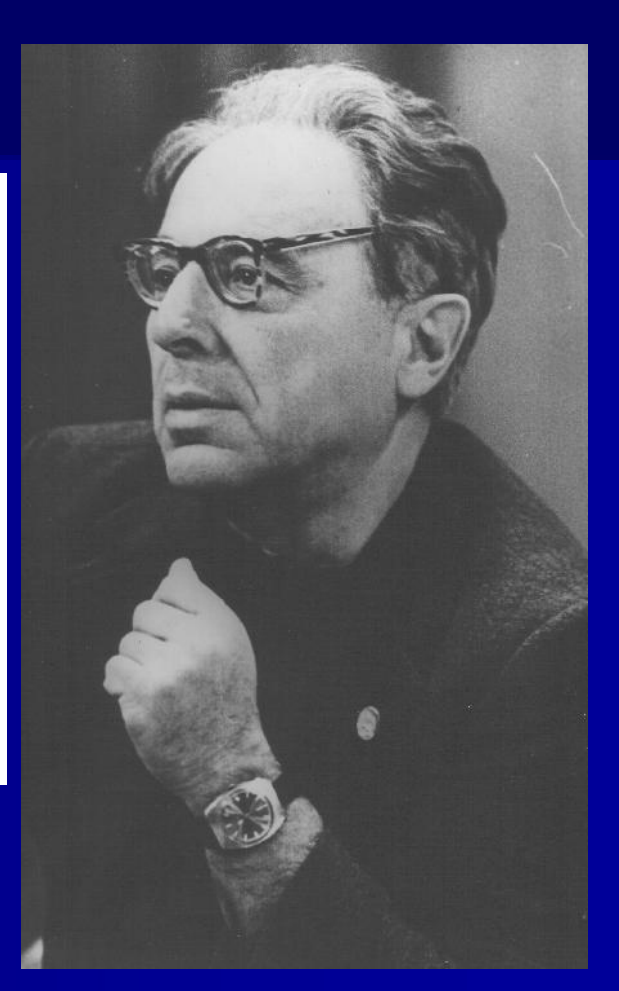
# Ультрафиолетовый спектр звезды ζ Змееносца (данные спутника *Copernicus*)



#### Спектральная линия атомарного водорода на волне 21 см



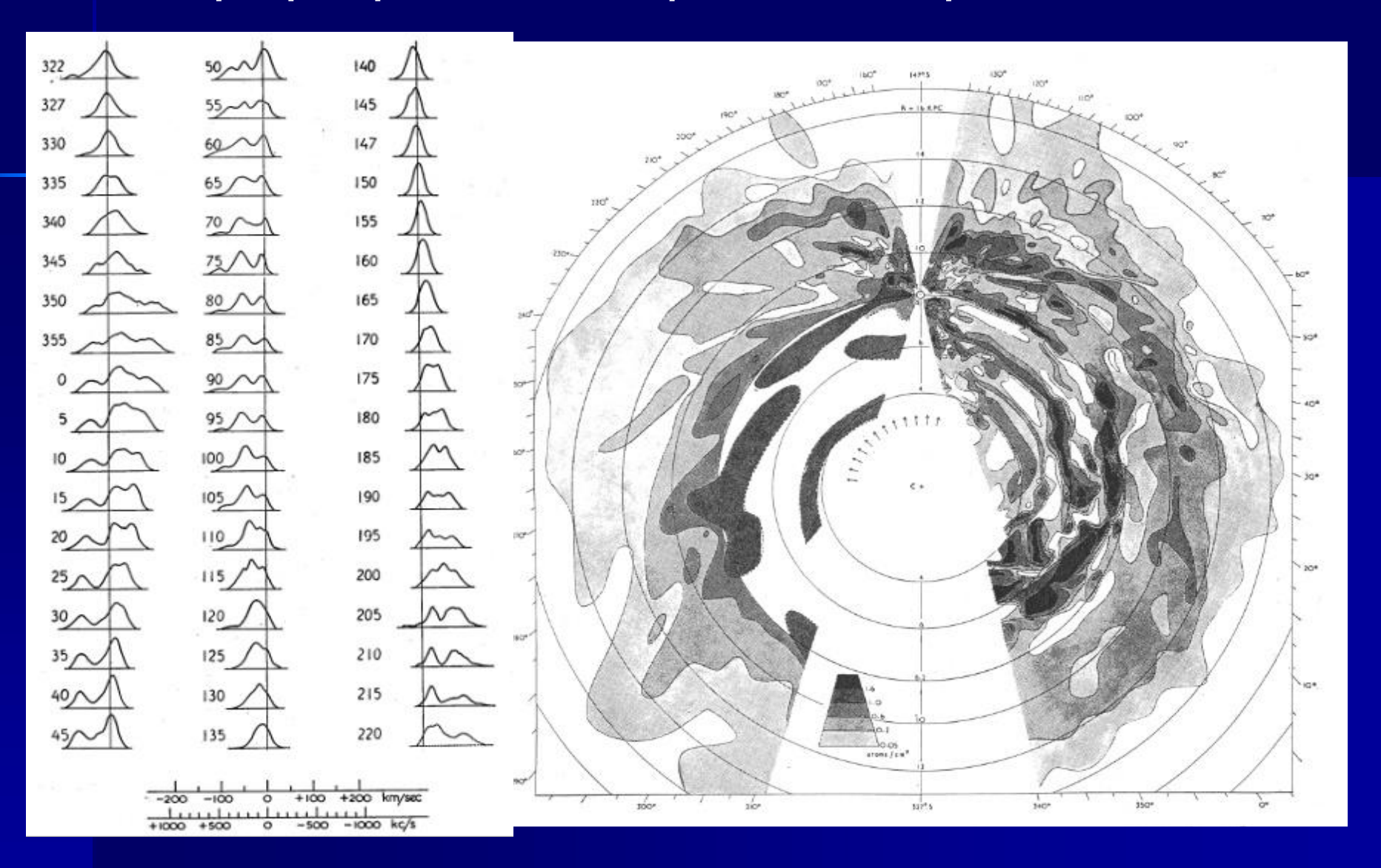
F=1 F=0  $\int_{0}^{f_0=1420~\mathrm{MHz}} \lambda_0=21~\mathrm{cm}$ Spin-Flip



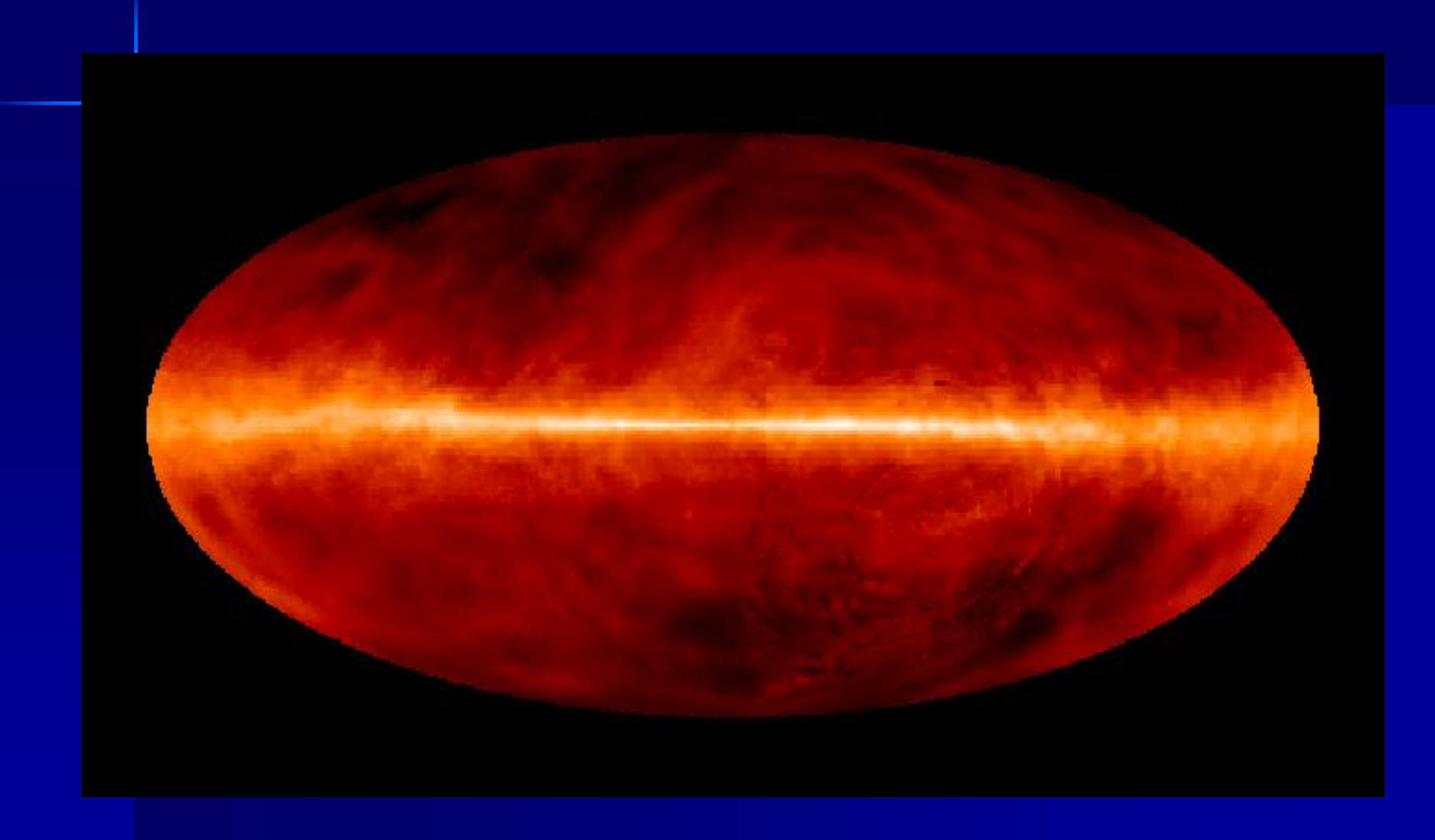
Хендрик ван де Хюлст 1918 - 2000

И.С. Шкловский 1916 - 1985

### Профили линии 21 см в разных направлениях и карта распределения нейтрального водорода в Галактике

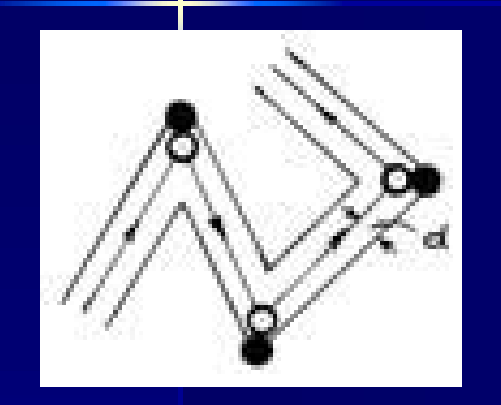


### Карта неба в линии 21 см



#### Межзвёздный газ — не вакуум!

#### Длина свободного пробега частиц в газе



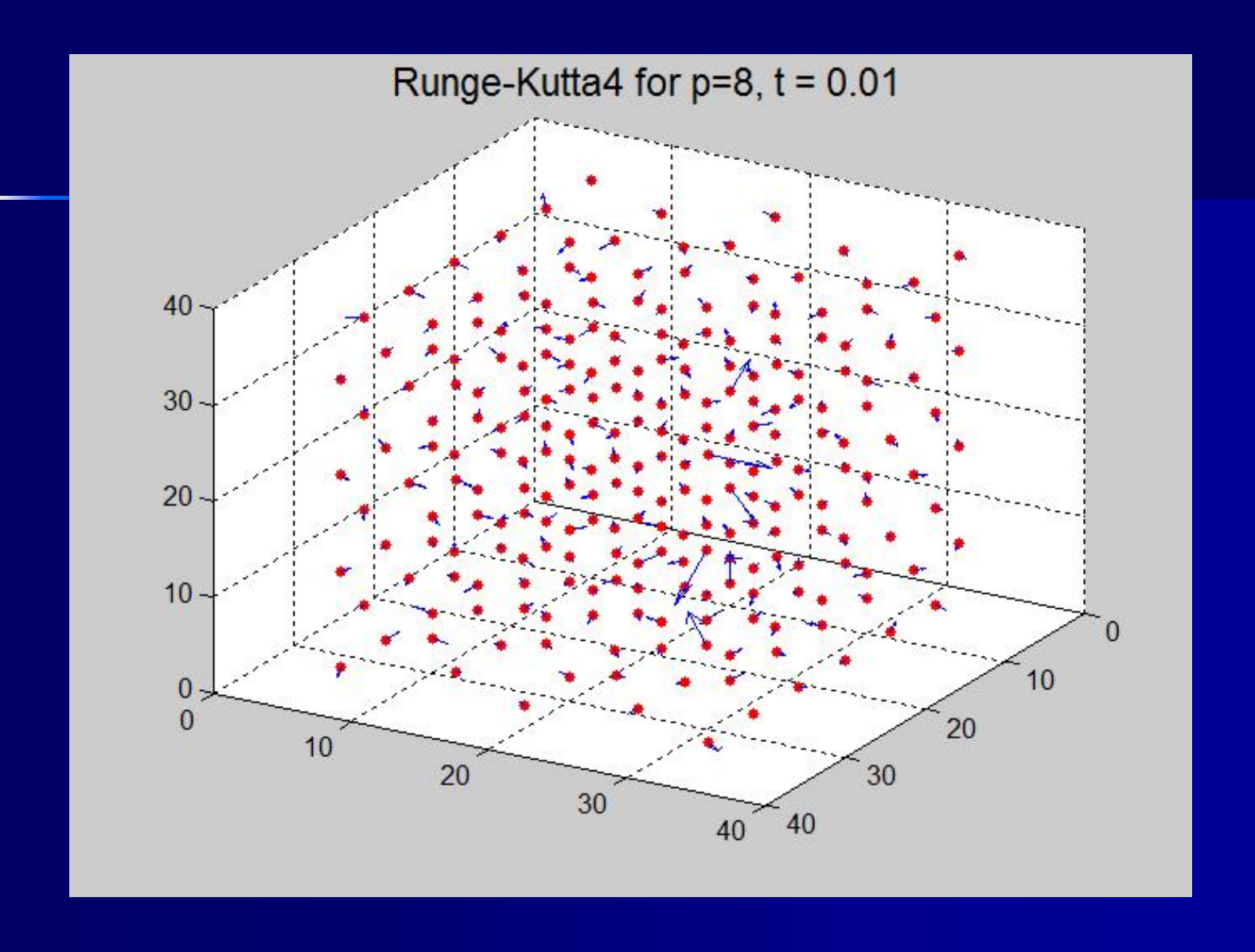
$$\lambda = \frac{1}{\sqrt{2\pi}d^2n}$$
,  $d \approx 10^{-8} \text{ cm}$ ,  $\sqrt{2\pi}d^2 \approx 10^{-15} \text{ cm}^2$ 

вземных условиях:  $n \approx 2.7 \times 10^{19}$  см<sup>-3</sup>,  $\lambda \approx 9 \times 10^{-6}$  см

в Галактике:  $n \approx 1 \, \mathrm{cm}^{-3}$ ,  $\lambda \approx 10^{15} \, \mathrm{cm}$ 

Вакуум-если  $\lambda >> L$ 

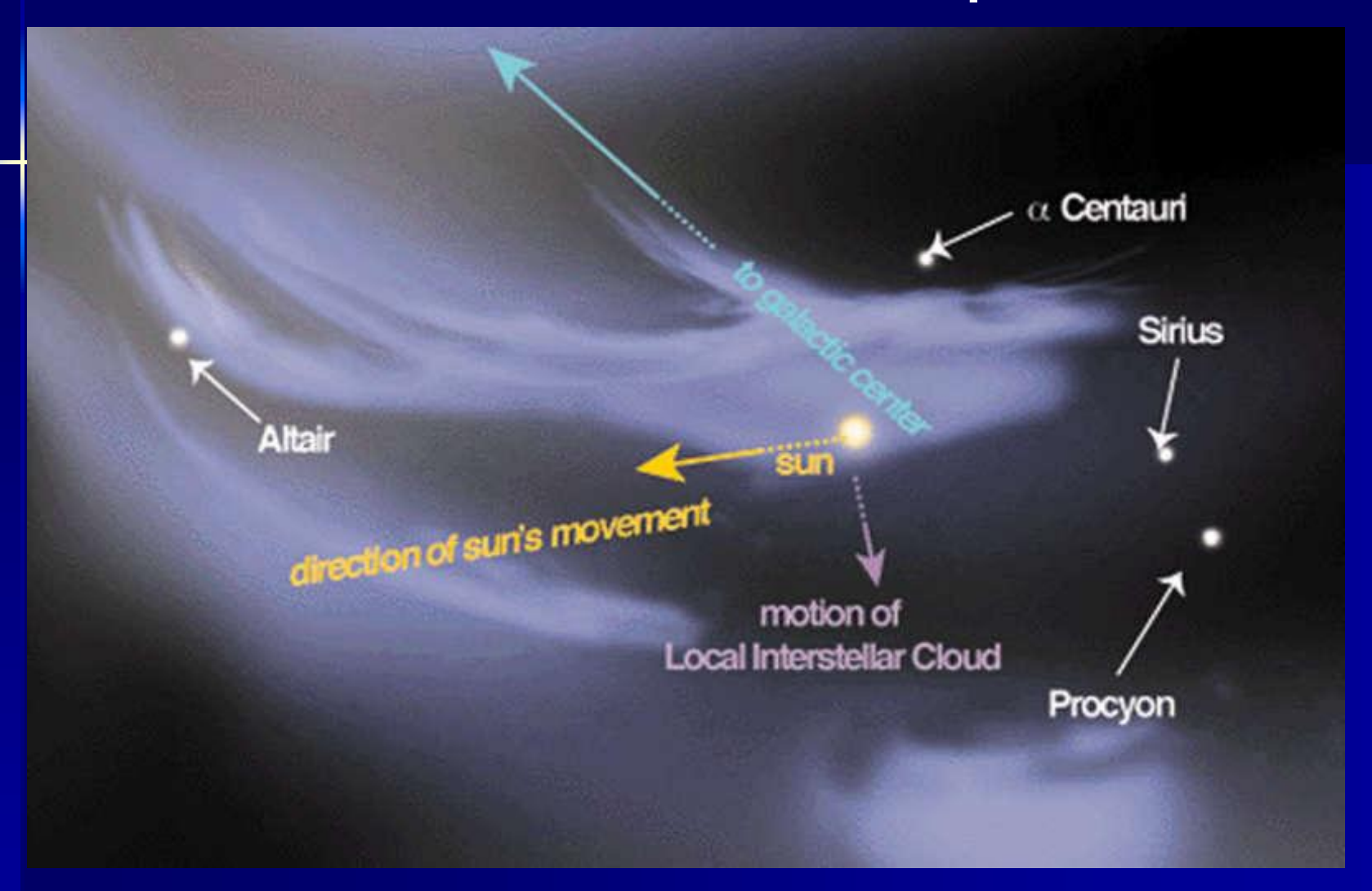
#### Разреженный газ в лабораторных условиях – вакуум (анимация)

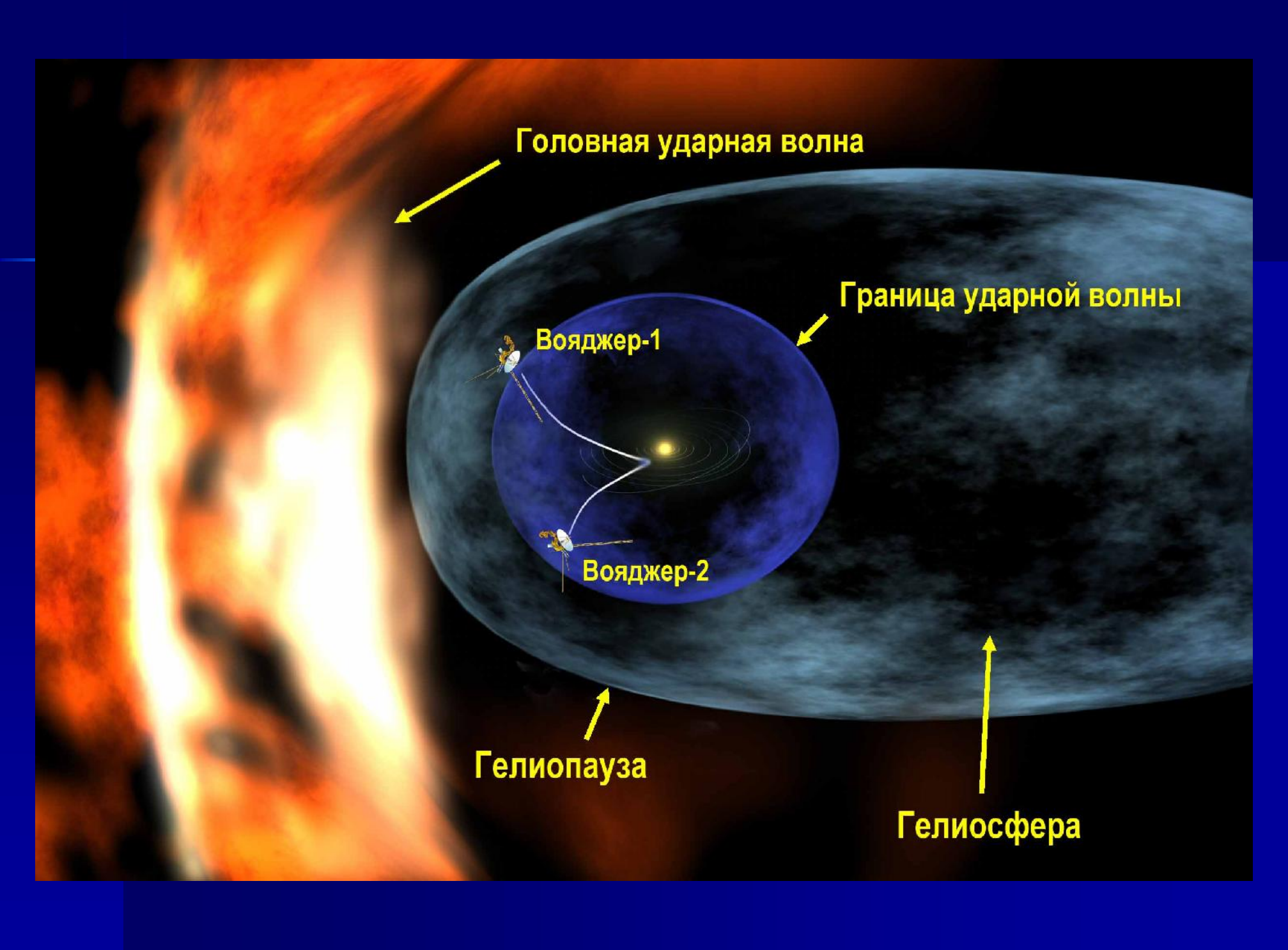


#### Составляющие межзвёздной среды

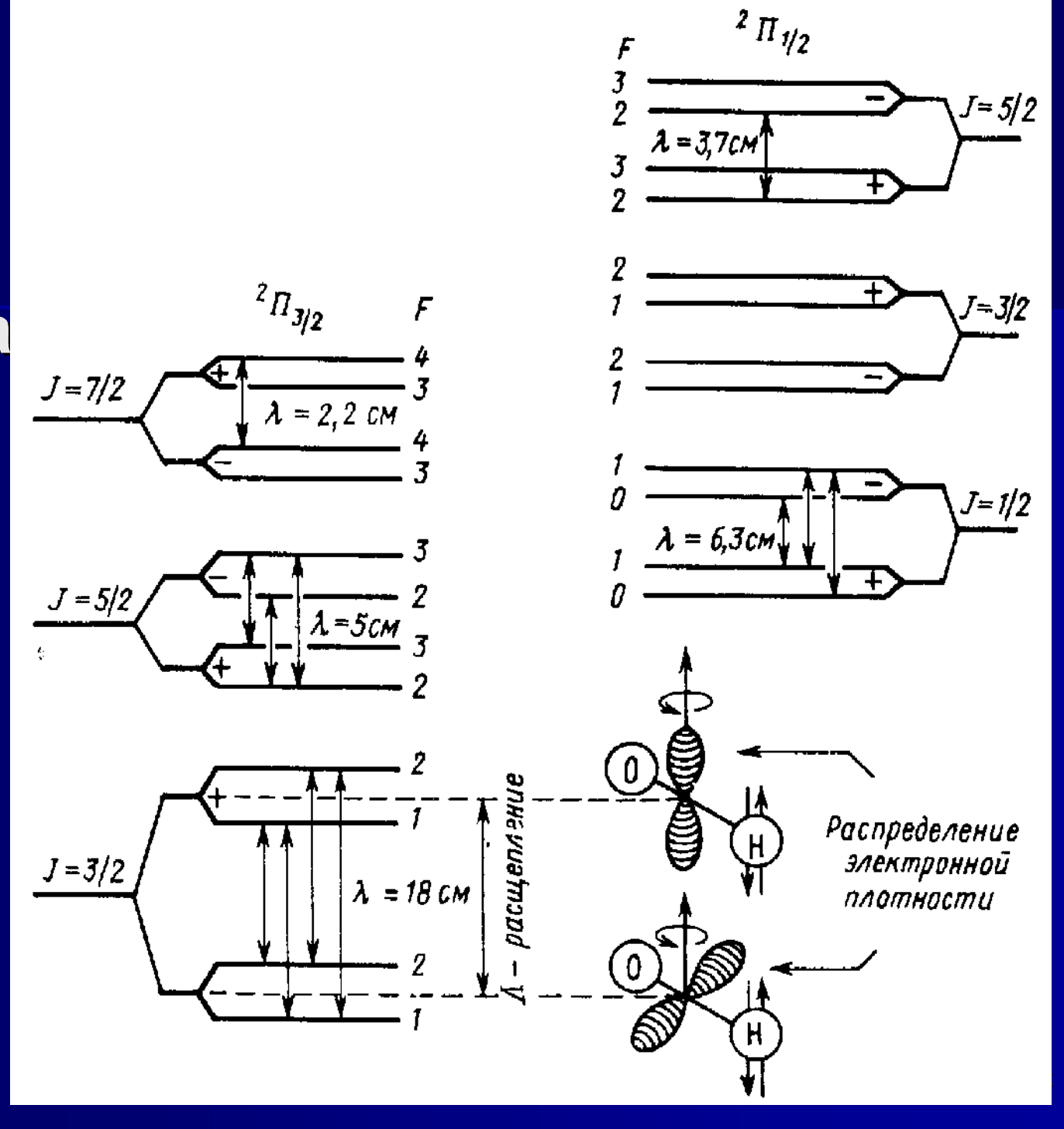
Фаза	Температура (K)	Концентрация (см <sup>-3</sup> )	Масса облаков ( <i>M</i> <sub>⊙</sub> )	Размер (пк)	Доля занимаемого объёма	Способ наблюдения
Корональный газ	~5·10 <sup>5</sup>	~0,003	2	2	~0,5	Рентген, линии поглощения металлов в УФ
Яркие области HII	~104	~30	~300	~10	~10 <sup>-4</sup>	Яркая линия H <sub>α</sub>
Зоны HII низкой плотности	~10 <sup>4</sup>	~0,3	-	-	~0,1	Линия Ηα
Межоблачн <mark>а</mark> я среда	~104	~0,1	-	-	~0,4	Линия Lyα
Тёплые области HI	~10 <sup>3</sup>	~1	-	-	~0,01	Излучение HI на λ=21 см
Мазерные конденсации	<100	~10 <sup>10</sup>	~10 <sup>5</sup>	~10 <sup>-5</sup>		Мазерное излучение
Облака НІ	≈80	~10	~100	~10	~0,01	Поглощение НІ на λ=21 см
Гигантские молекулярные облака	~20	~300	~3·10 <sup>5</sup>	~40	~3·10 <sup>-4</sup>	
Молекулярные облака	≈10	~10 <sup>3</sup>	~300	~1	~10 <sup>-5</sup>	Линии поглощения и излучения молекулярного водорода в радио- и инфракрасном спектре.
Глобулы	≈10	~104	~20	~0,3	~3·10 <sup>-9</sup>	Поглощение в оптическом диапазоне.

#### Местная межзвёздная среда



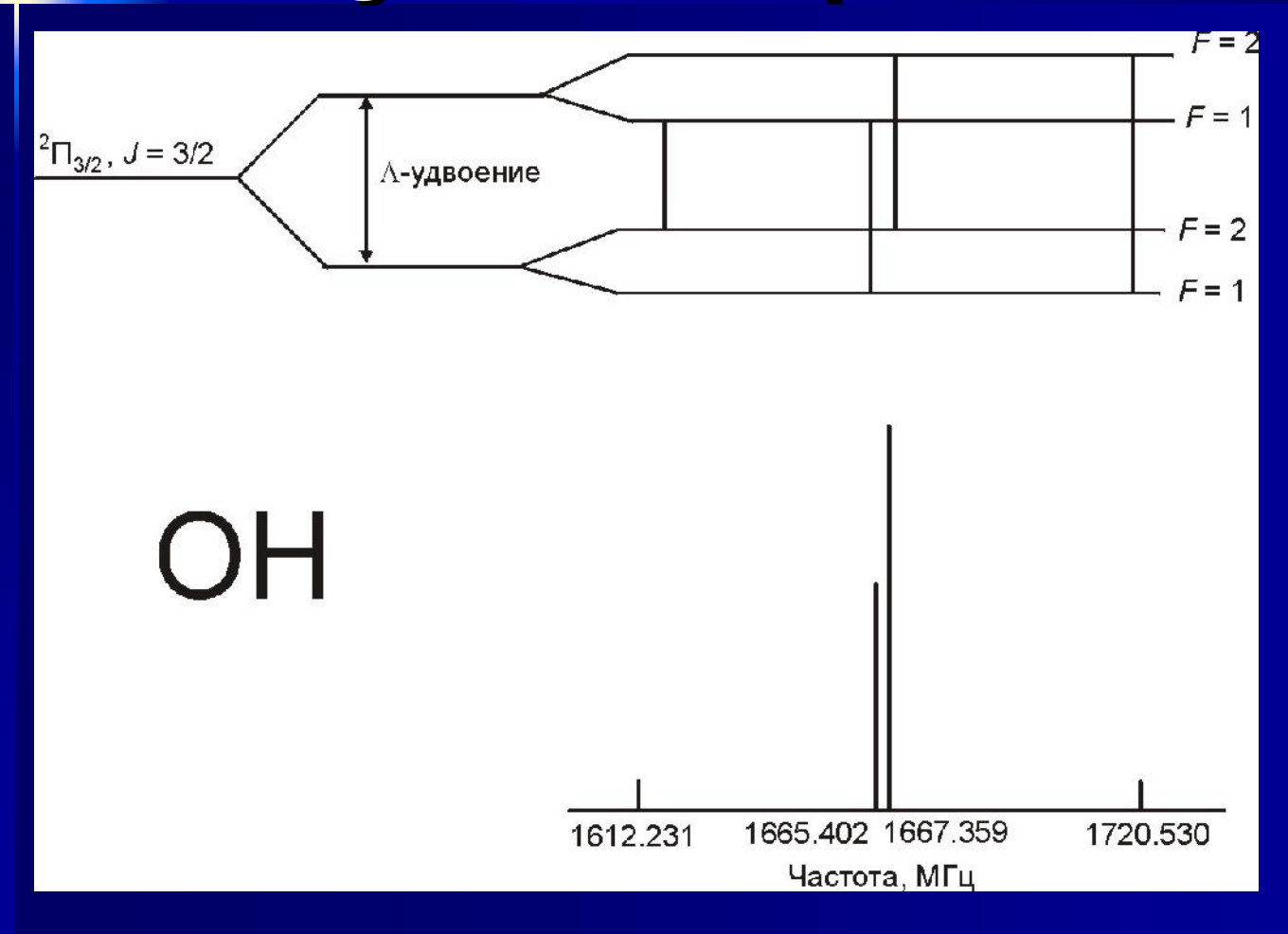


# Схема уровней молекулы гидроксила

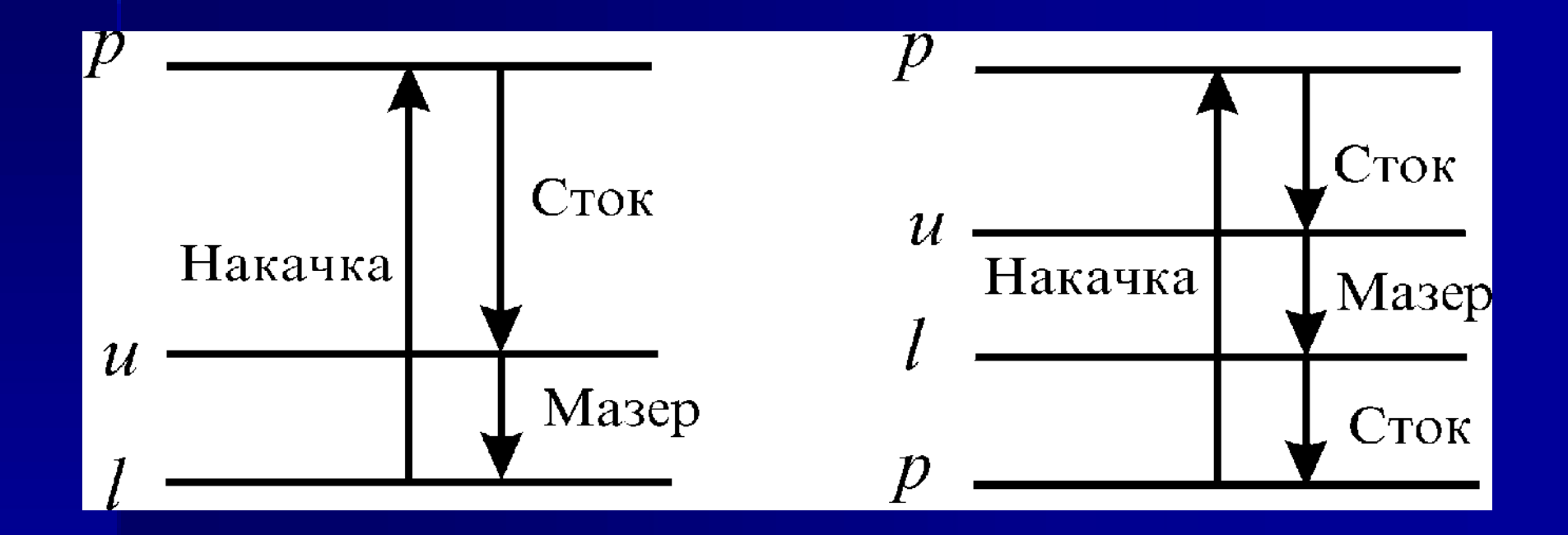


08.10.2015

# Схема уровней молекулы гидроксила



# Мазер



#### Молекулярные мазеры

October 2, 1965

NATURE

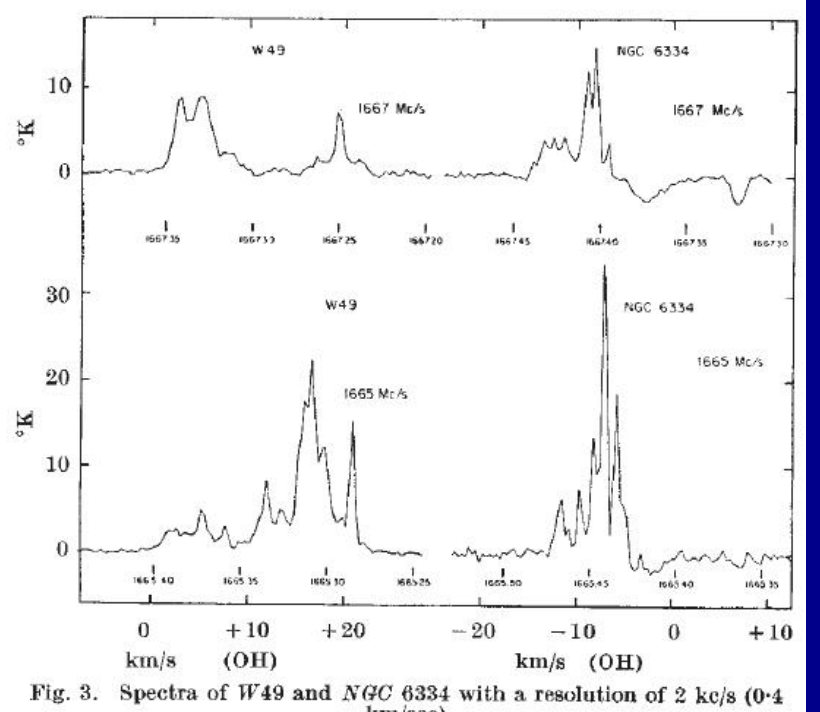
29

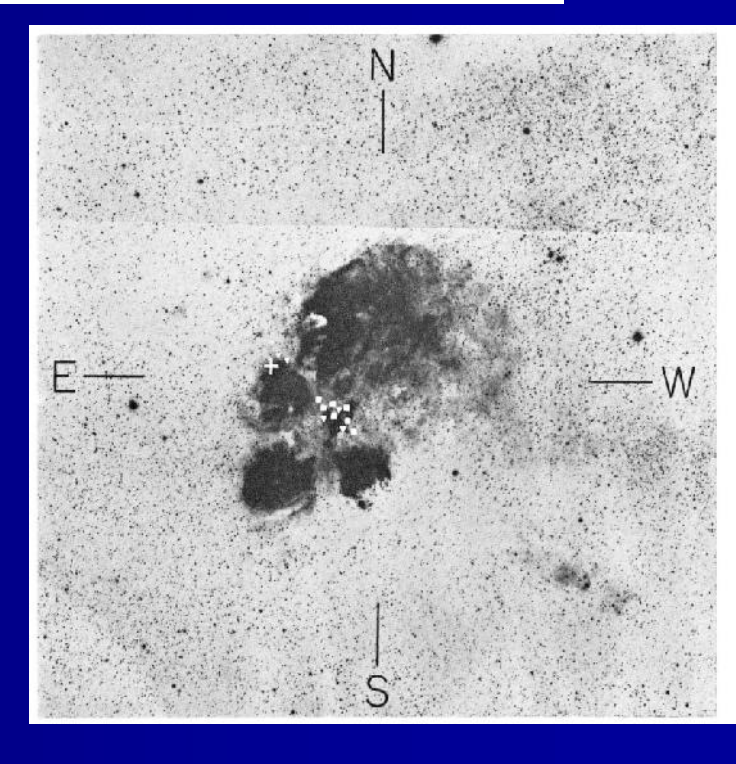
#### OBSERVATIONS OF A STRONG UNIDENTIFIED MICROWAVE LINE AND OF EMISSION FROM THE OH MOLECULE

By PROF. HAROLD WEAVER, DR. DAVID R. W. WILLIAMS, DR. N. H. DIETER and W. T. LUM Radio Astronomy Laboratory, University of California, Berkeley



Нэн Дитер (1926-2014)

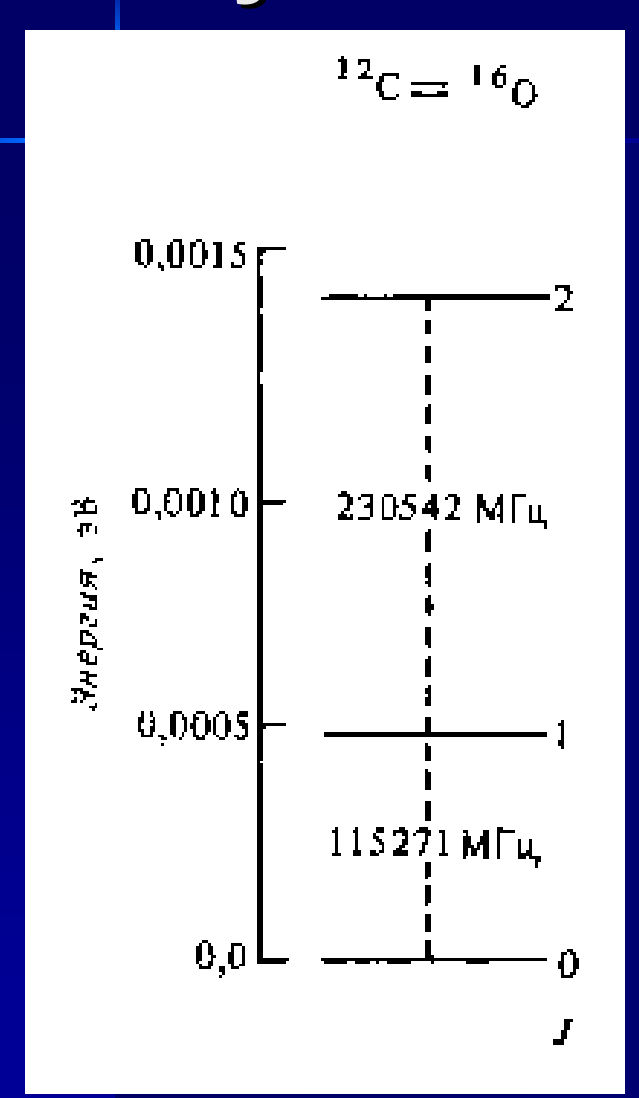


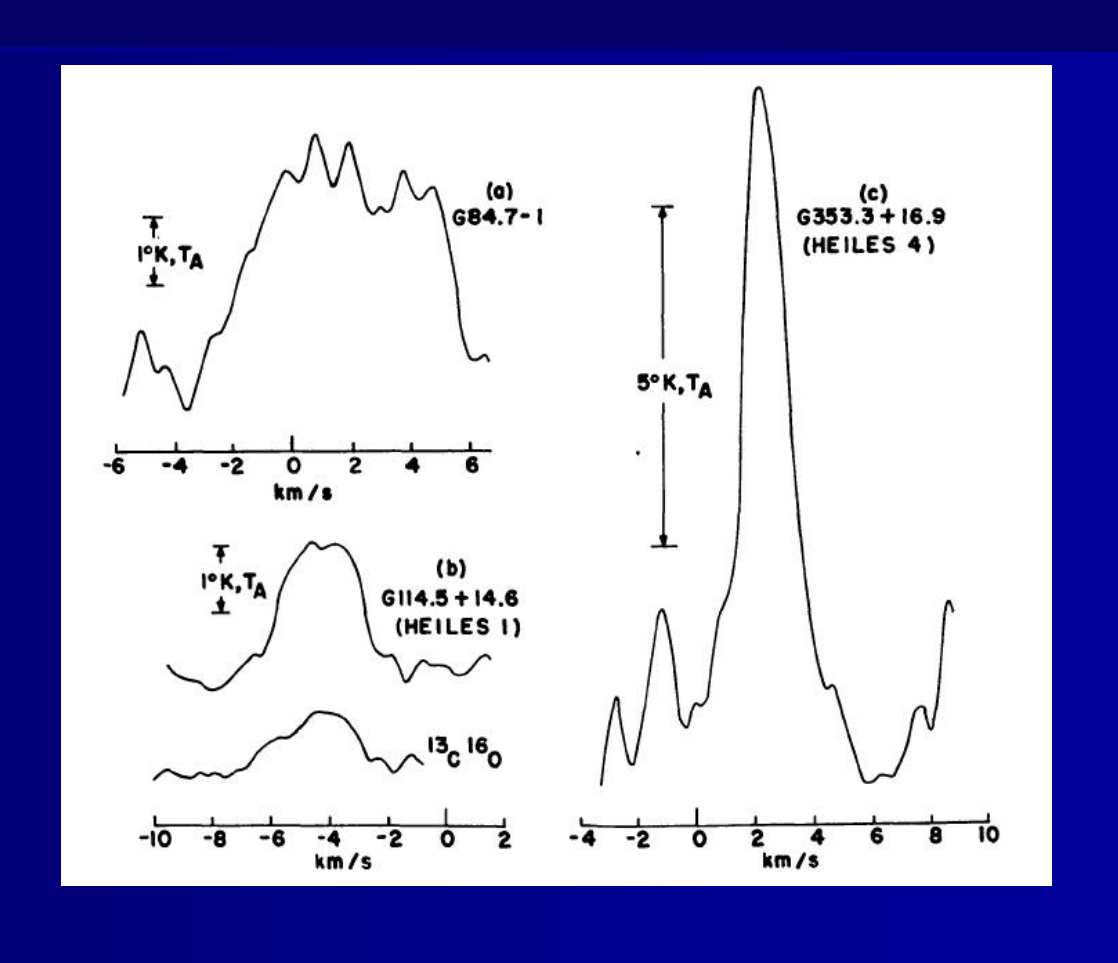


Обнаружены мазеры на молекулах гидроксила (OH), воды  $(H_2O)$ , метанола (CH<sub>3</sub>OH), окиси кремния (SiO) и других.

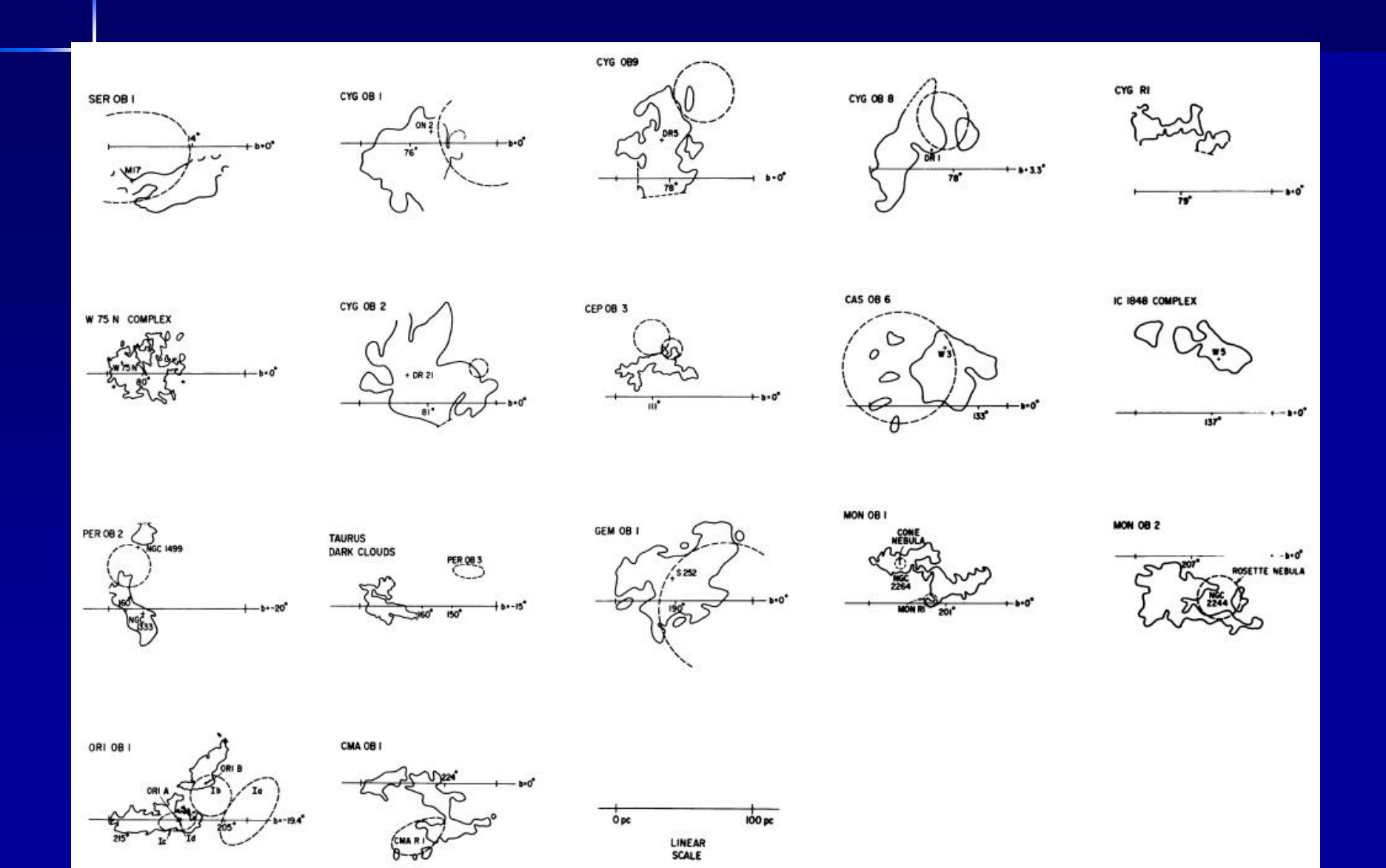
# Схема уровней молекулы СО

**CO**, J = 1-0 ( $\lambda = 2.6$  MM)

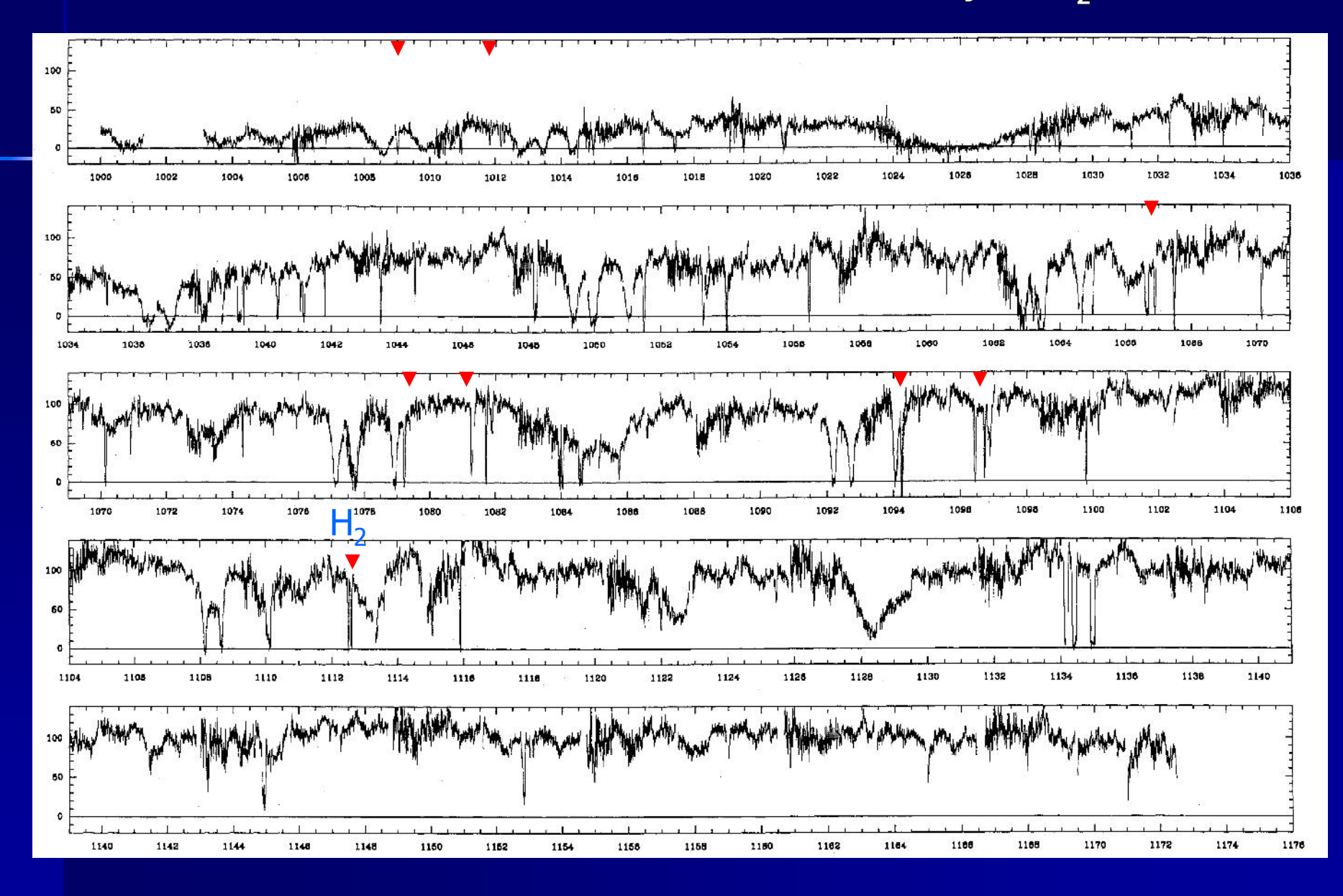




# Гигантские молекулярные облака (по наблюдениям в линии молекулы СО) Размеры – десятки парсек, массы – до 10⁵ масс Солнца Места образования звёзд



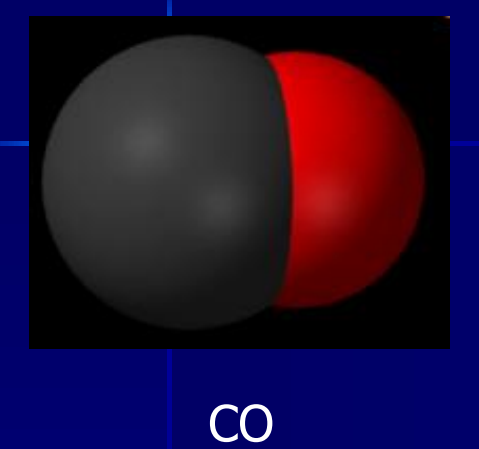
### Ультрафиолетовый спектр звезды $\pi$ Скорпиона Отмечены межзвёздные линии молекулы $\mathbf{H_2}$

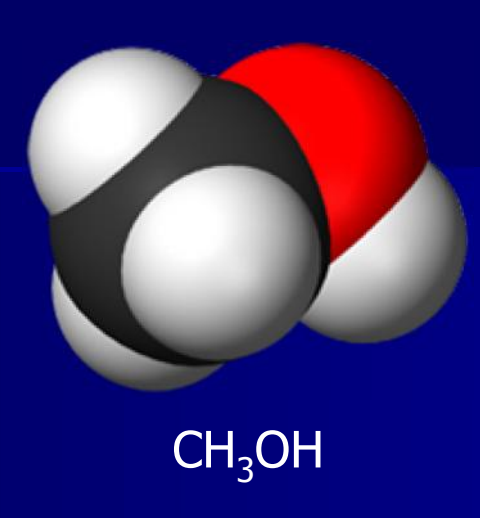


#### Межзвёздные молекулы

```
атомов
Число
 2
                    CO
       H,
                                    SiO
                                                   NO
                                                               CN
                                                                         SO
                                                                                CH
                    CS
                                    SiS
                                                   NS
                                                               PN
       C,
                                                                         SO+
                                                                                CH+
       OH
                    HCl
                                    NaCl
                                                   KCI
                                                               AlCI
                                                                         AIF
 3
                    HNO
                                    HCN
       H<sub>2</sub>O
                                                   HNC
                                                               OCS
       H,S
                    HCO
                                    HCO+
                                                   HOC+
                                                               HCS+
                    SiC.
                                    C.S
       SO,
                                                   C<sub>2</sub>H
                                                               CH.
       H
                    N_2H^+
                                    NaOH
                                                   O3
        3
       NH3
                    H<sub>2</sub>CO
                                    HNCO
                                                   HCO
 4
       C.H.
                    H<sub>2</sub>CS
                                    HNCS
                                                   HCNH+
       CaO
                    CaN.
                                    C<sub>3</sub>S
                                                   C<sub>3</sub>H
                                    CH<sub>2</sub>NH
 5
       HC3N
                     NH2CN
                                                   CH,CO
       HCOOH
                    SiH.
                                    CH_4
                                                   C_3H_2
                                                              C.H
       CH<sub>3</sub>CN
                    CH<sub>3</sub>OH
                                    CH<sub>3</sub>SH
 6
       NH2HCO C2H4
                                    C<sub>5</sub>H
       HC,N
                    CH2CHCN
                                    C_6H
       CH3C2H
                    CH<sub>3</sub>NH<sub>2</sub>
                                    CH<sub>3</sub>HCO
       CH<sub>3</sub>C<sub>3</sub>N
                    HCOOCH<sub>3</sub>
 9
       HC,N
                    CH<sub>3</sub>C<sub>4</sub>H
                                    CH3OCH3
       C.H.OH
                    C2H5CH
       CH3C5N
10
11
       HC,N
       HCIIN
```

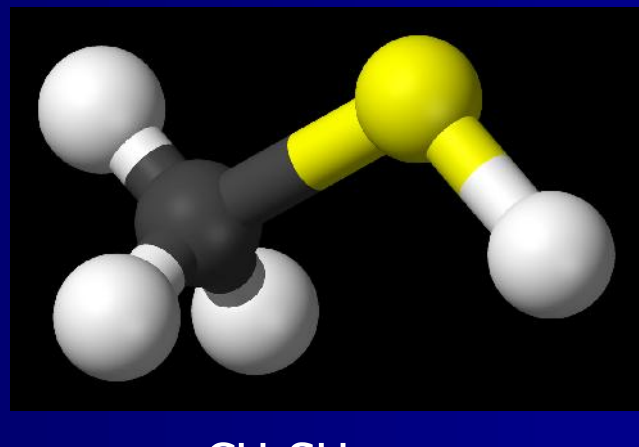
#### В межзвёздной среде обнаружено более 100 видов молекул







CH<sub>3</sub>COOH



CH<sub>3</sub>SH

#### Cyanopolyynes H–(C $\equiv$ C)<sub>n</sub>–C $\equiv$ N, n=0,1,2,...5

HC<sub>3</sub>N

 $HC_{11}N$   $(H-C \equiv C-C \equiv C-C \equiv C-C \equiv C-C \equiv N)$ 

*Bell et al. 1982* 

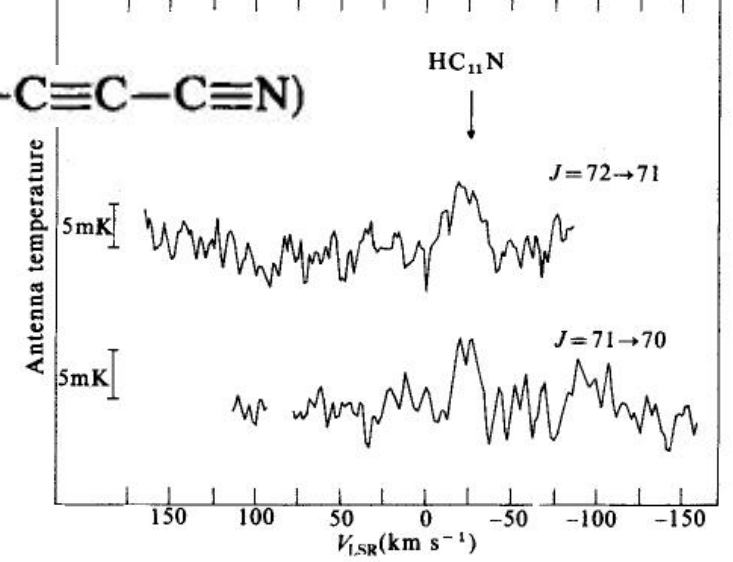
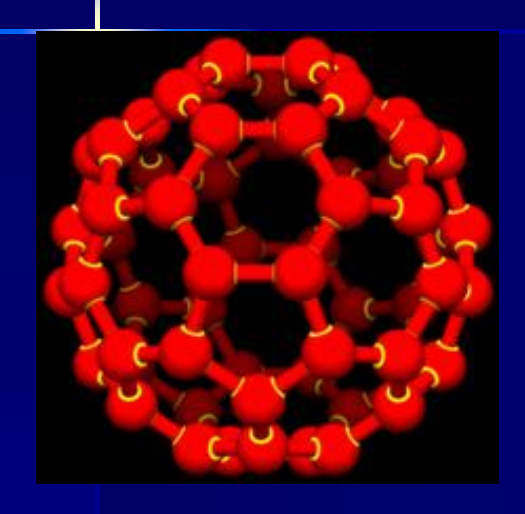


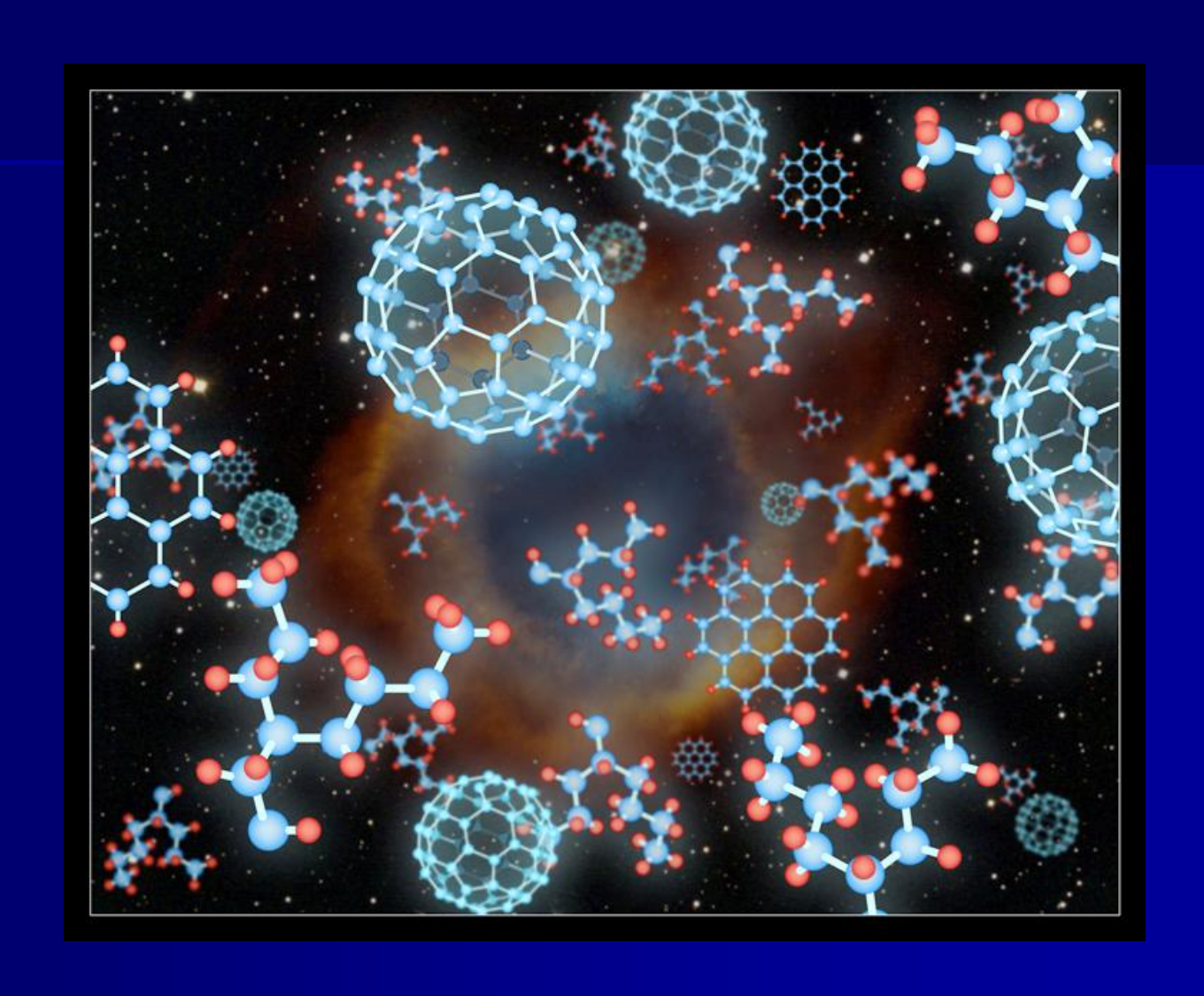
Fig. 2 Two adjacent transitions of HC<sub>11</sub>N in the spectrum of IRC+10°216. The features have been aligned on a common velocity scale using the rest frequencies given in Table 1. The antenna-temperature scales are indicated on the left of the figure.

Other details are as for Fig. 1.

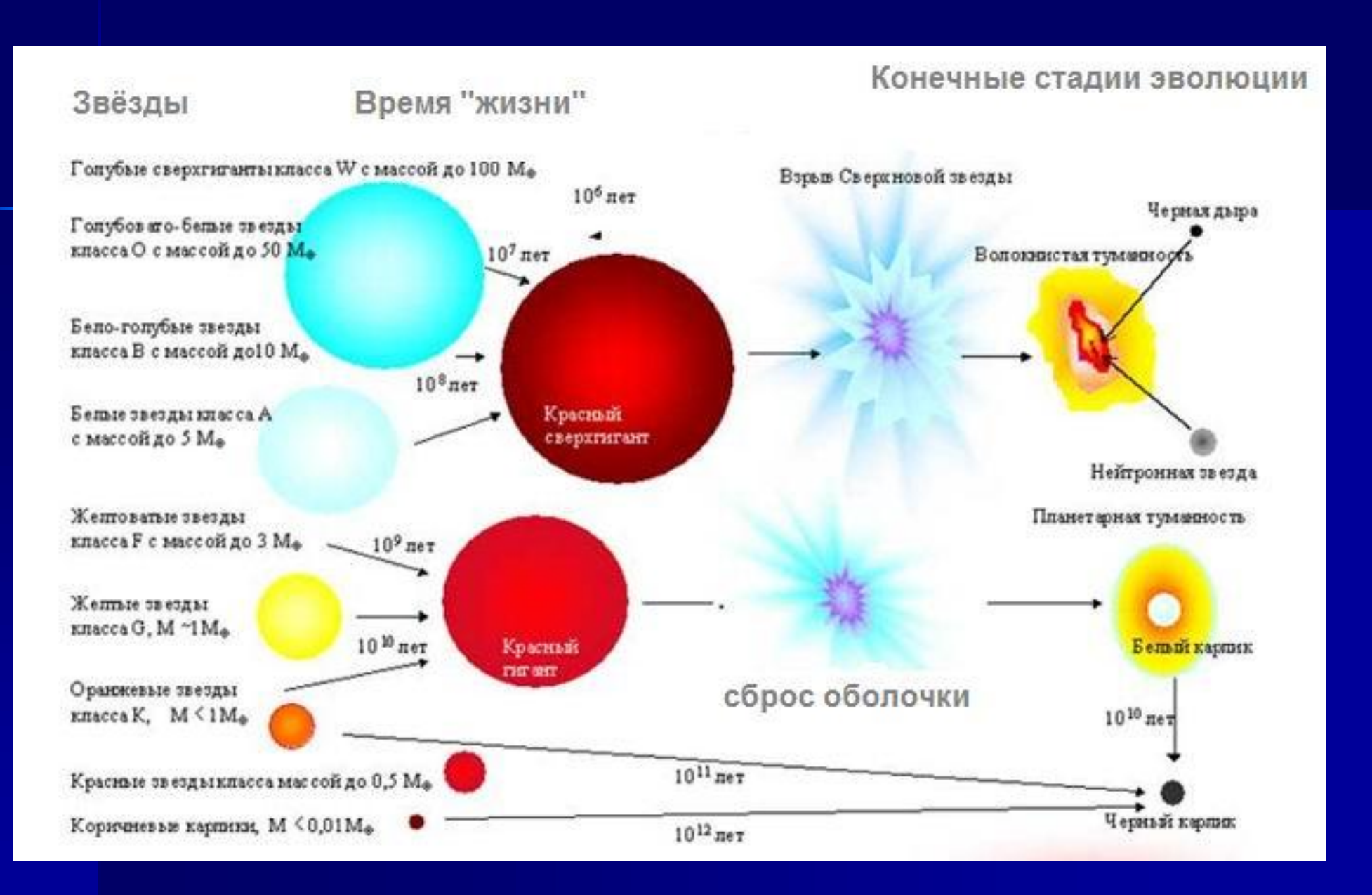
#### В межзвёздной среде обнаружены ещё более сложные молекулы



Фуллерены



#### Жизненный путь звёзд с различной начальной массой



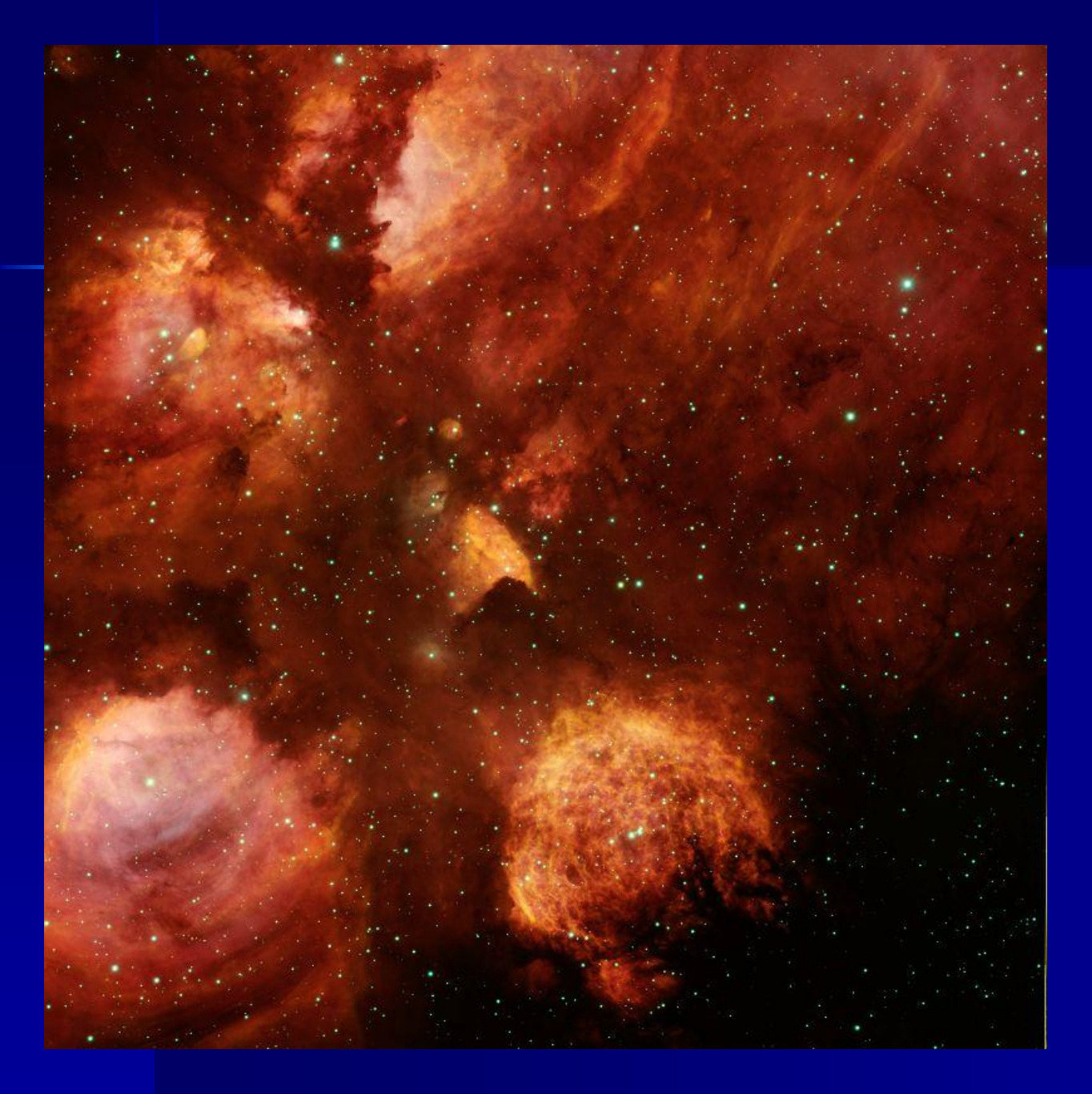
# Области ионизованного водорода вокруг горячих звёзд (зоны HII)



Туманность Ориона - близкая зона НІІ

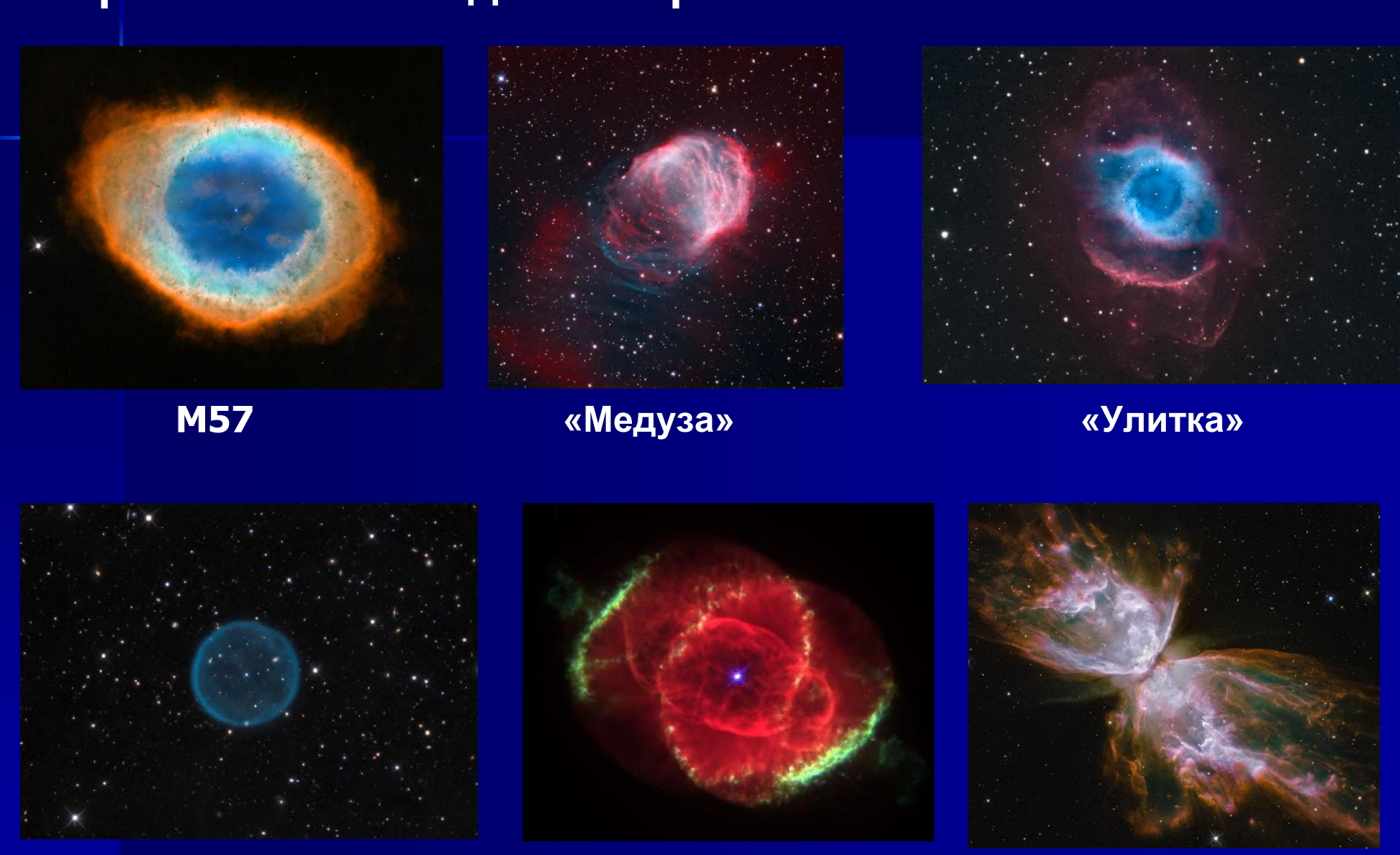






Туманность NGC 6334 («Кошачья лапа»)

# Планетарные туманности – ионизованные оболочки, сброшенные звёздами – красными гигантами

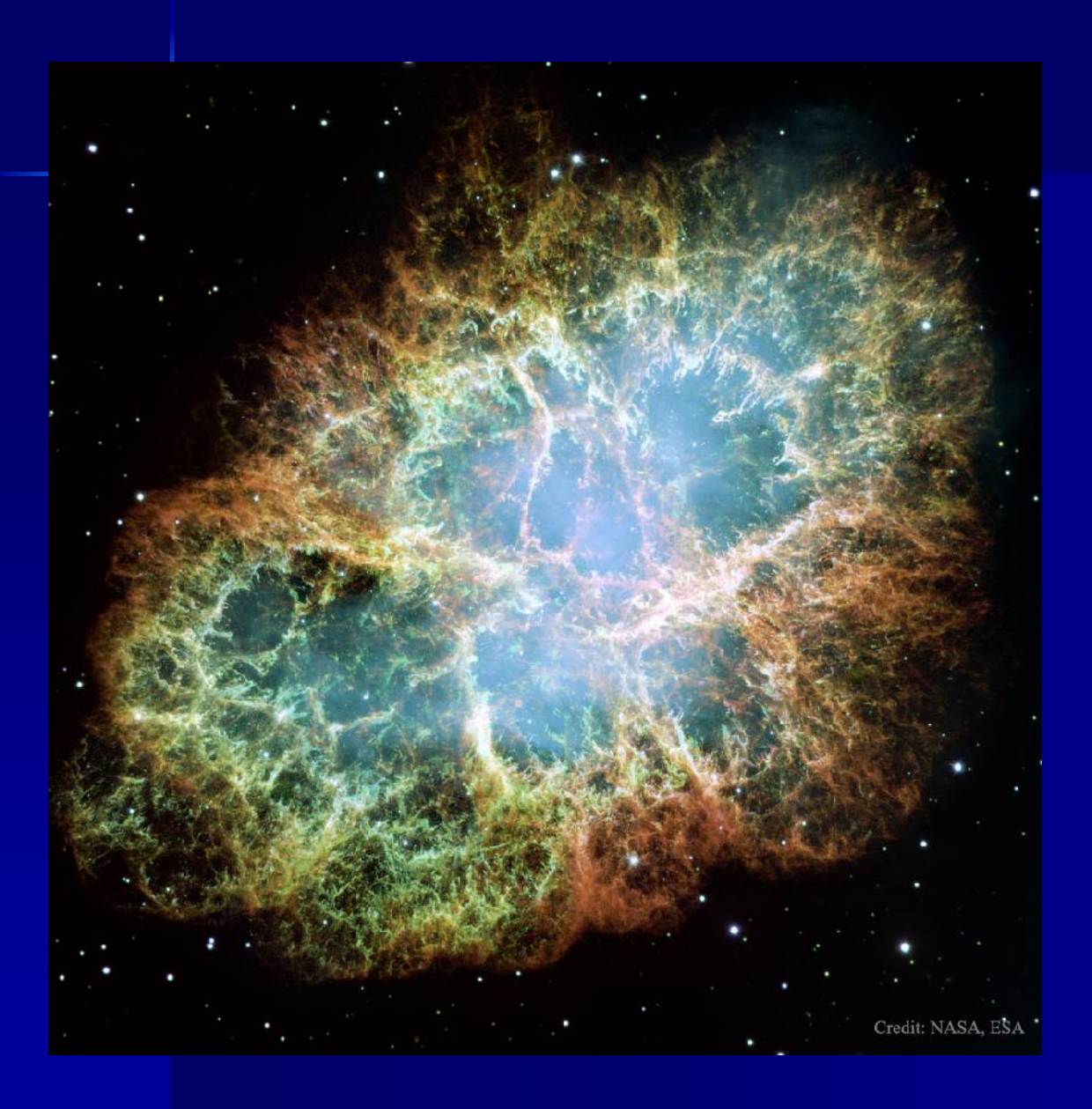


«Кошачий глаз»

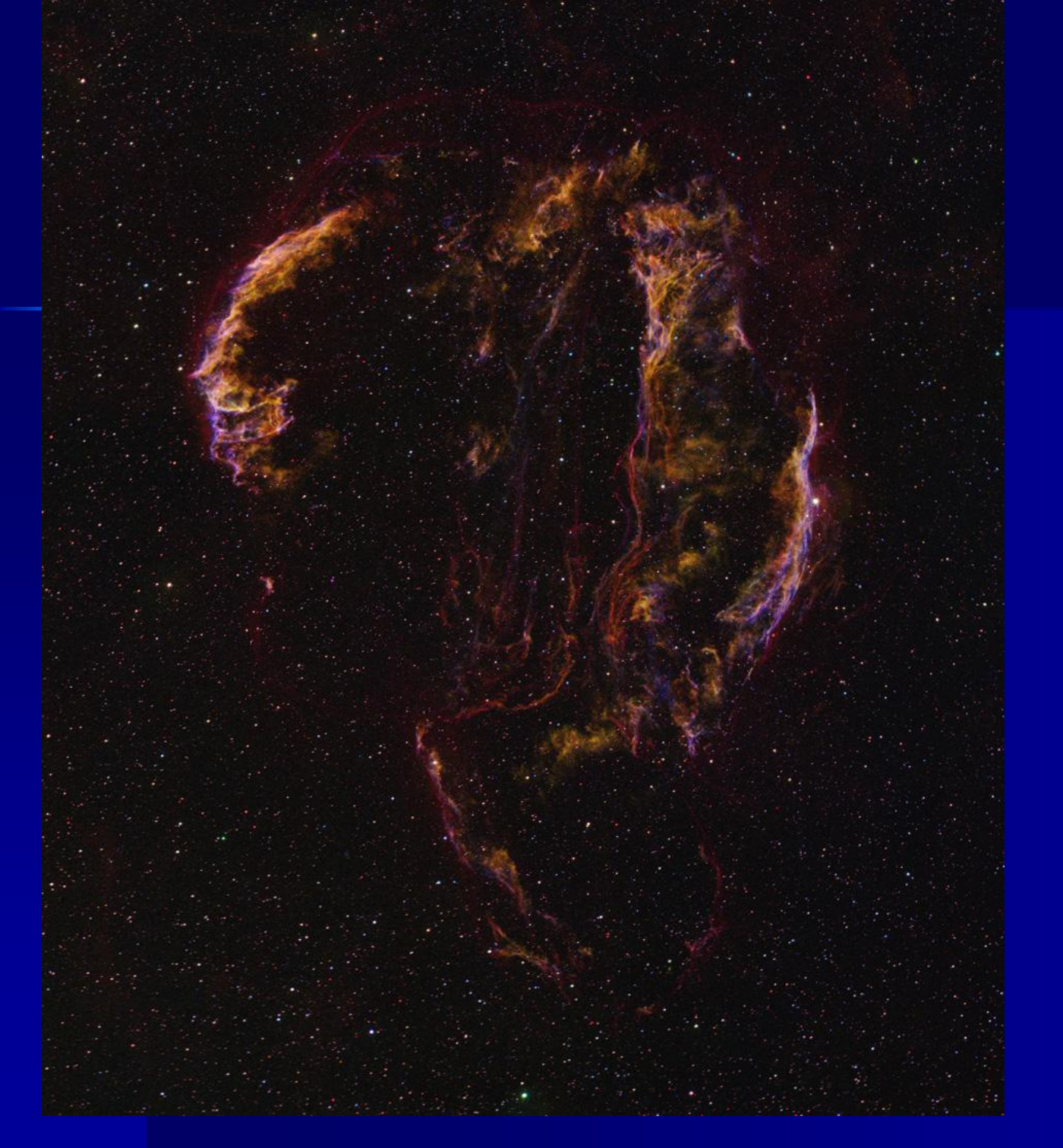
«Бабочка»

Abell 39

# Остатки вспышек сверхновых



Крабовидная Туманность Остаток вспышки Сверхновой 1054 года



Туманность Петля в Лебеде – остаток Сверхновой, вспыхнувшей 9000 лет назад

Ещё составляющие межзвёздной среды:

Межзвёздная пыль

Магнитные поля

Космические лучи

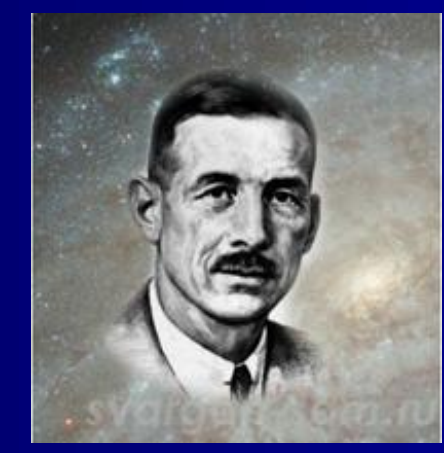
### Межзвёздная пыль

## Межзвёздное поглощение света:

2 зв. величины на 1 килопарсек (1 парсек = 3.26 св. года =  $=3 \times 10^{16}$  км)



Тёмная туманность Barnard 68



Роберт Трюмплер 1886 - 1956



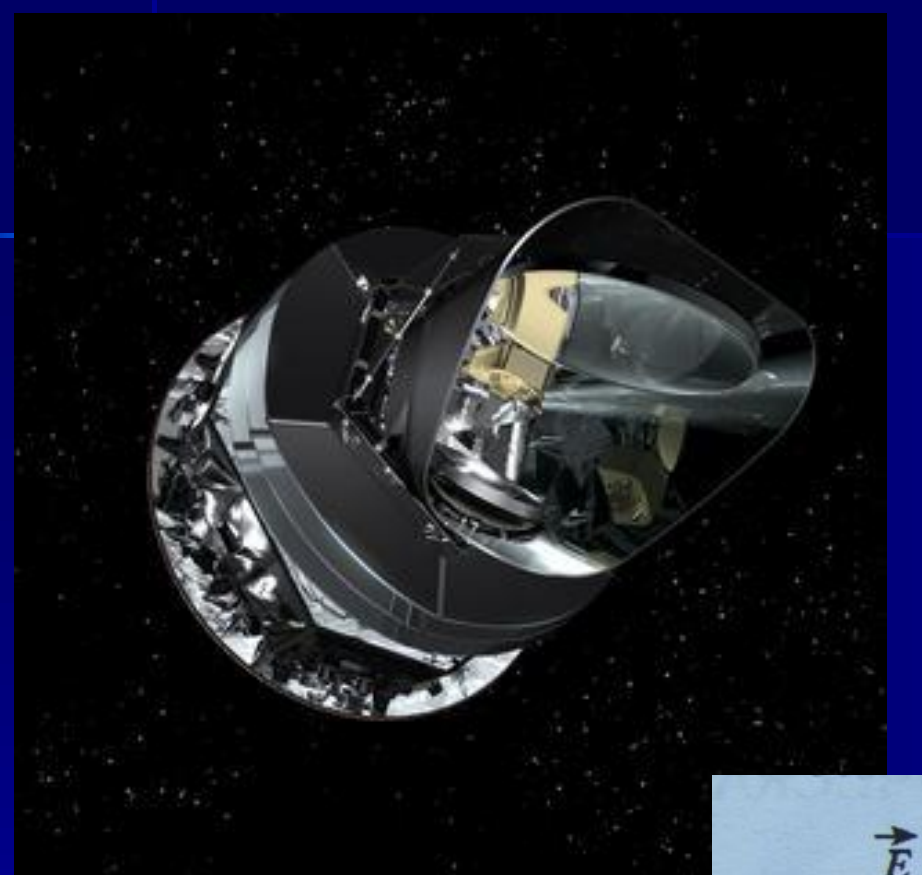
Б.А. Воронцов-Вельяминов 1904 - 1994

# Тёмная туманность «Конская голова» в Орионе



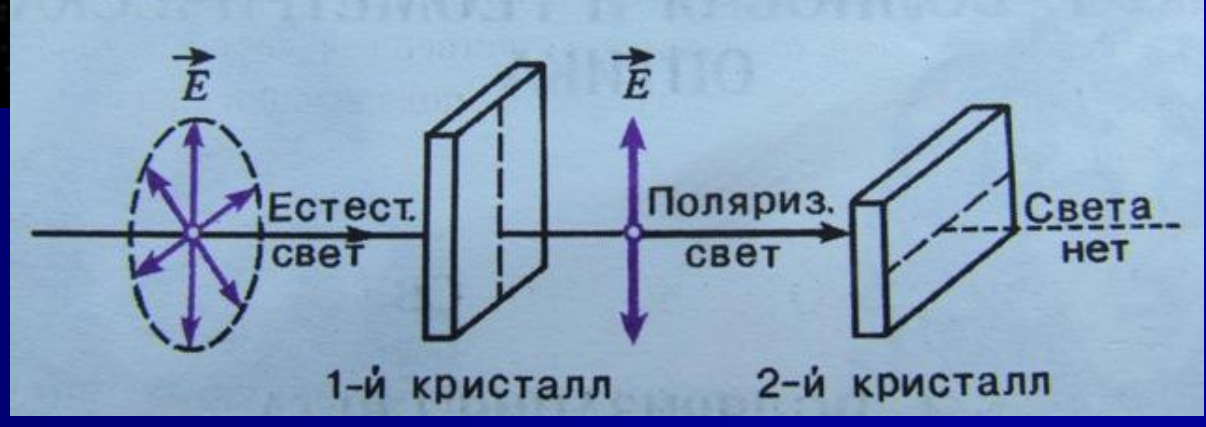


# Космический аппарат Planck (Европейское космическое агентство), 2009-2013 гг.



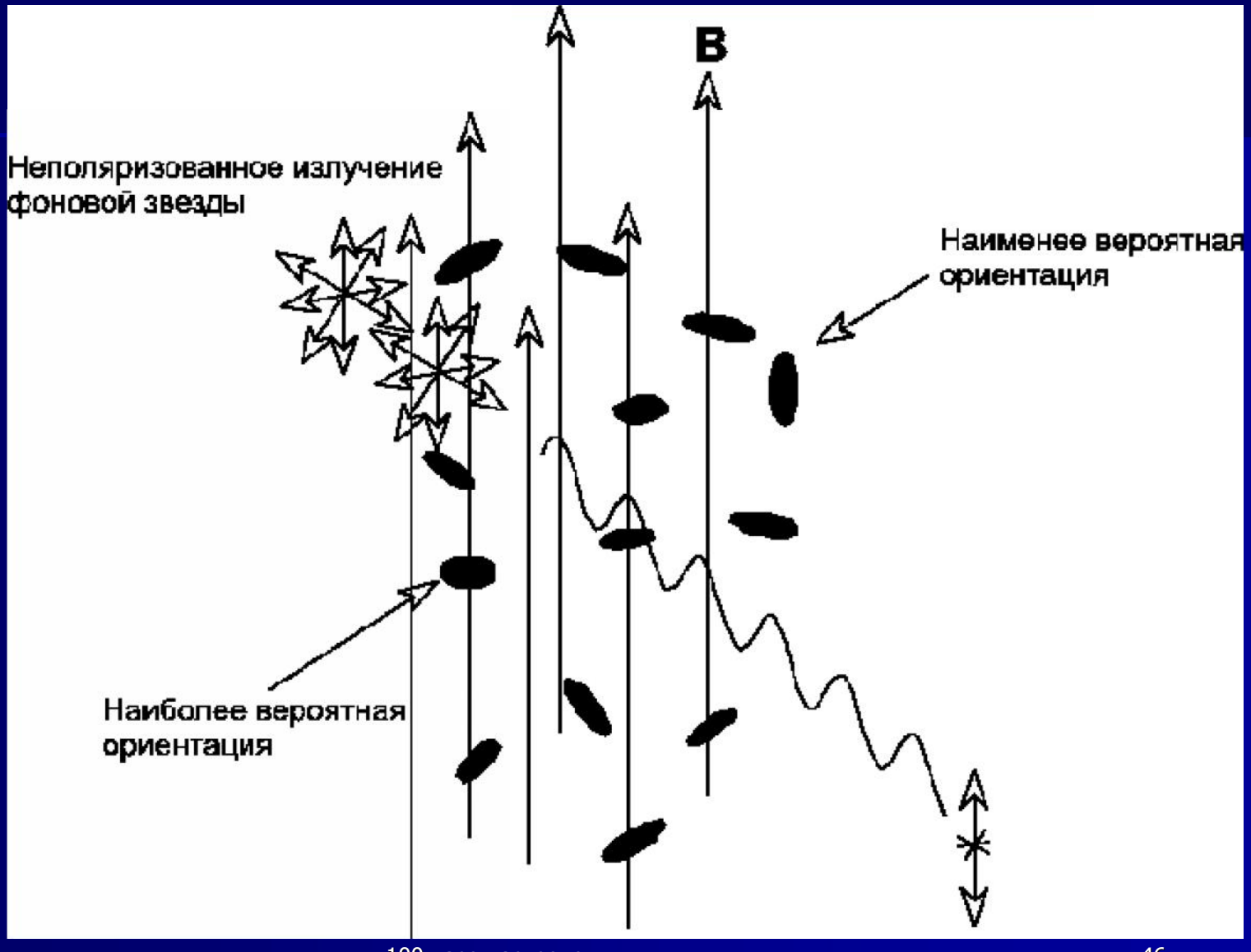
Волны от 1 см до 0.35 мм (350 мкм)

#### Поляризация света

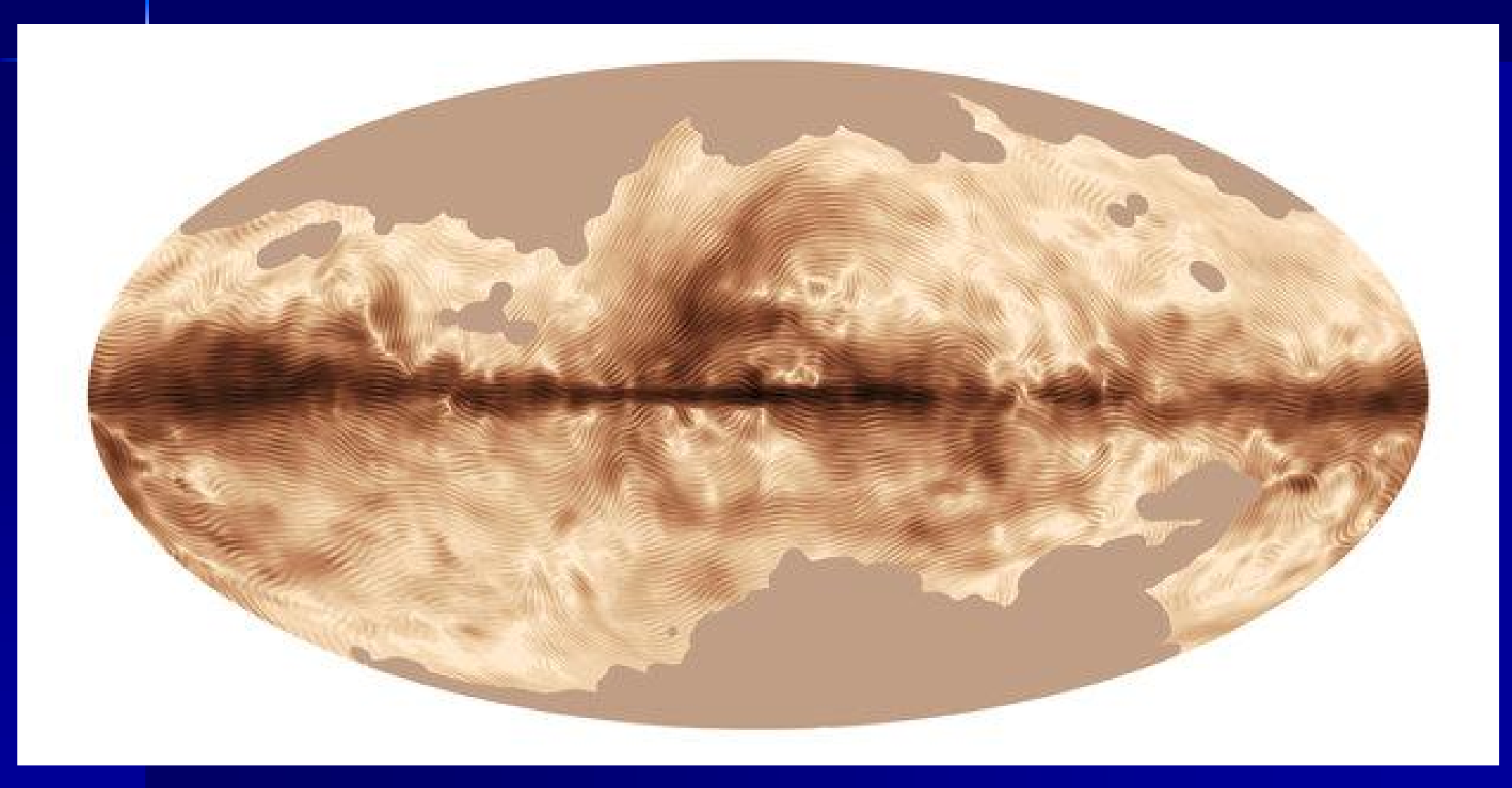


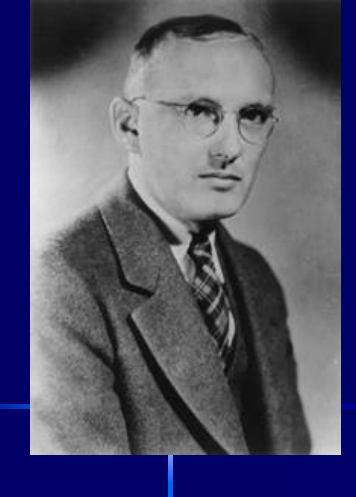
#### Поляризация света межзвёздной пылью



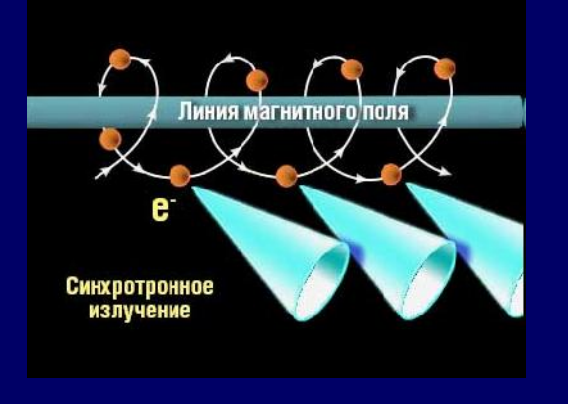


### Распределение межзвёздного магнитного поля Млечного Пути

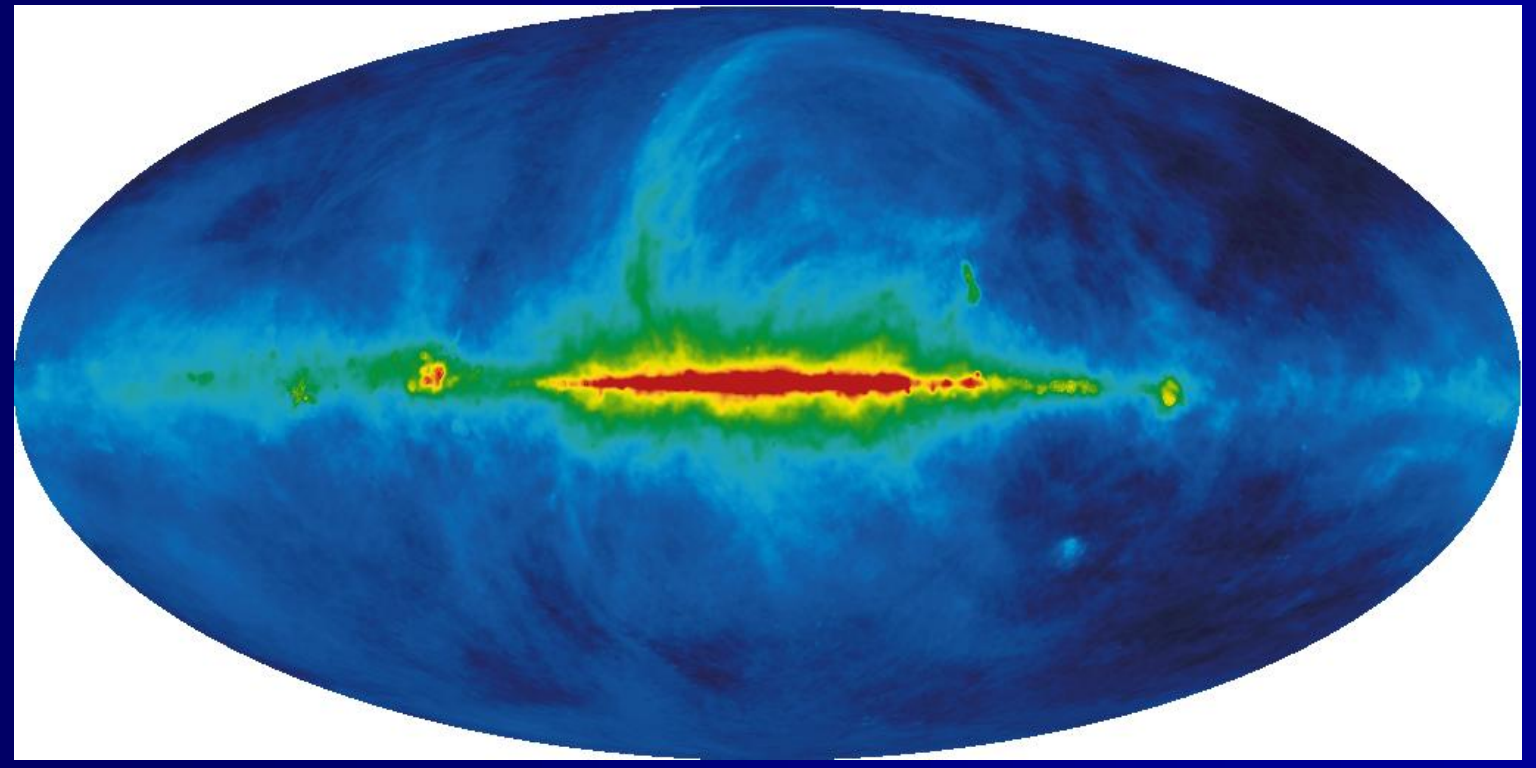




Карл Янский 1905 - 1950



Радиокарта неба на частоте 408 МГц



Излучение релятивистских электронов (*E* ~ 10-30 МэВ) в межзвёздном магнитном поле (*H* ~ 10-5 Гс)